

Algorithme de recherche de point-selle de lagrangien non strictement convexe. Application a l'optimisation des investissements pour un réseau electrique.

Jean-François Balducchi

▶ To cite this version:

Jean-François Balducchi. Algorithme de recherche de point-selle de lagrangien non strictement convexe. Application a l'optimisation des investissements pour un réseau electrique.. Automatique / Robotique. École Nationale Supérieure des Mines de Paris, 1982. Français. NNT: . pastel-00833942

HAL Id: pastel-00833942 https://pastel.hal.science/pastel-00833942

Submitted on 13 Jun 2013

HAL is a multi-disciplinary open access archive for the deposit and dissemination of scientific research documents, whether they are published or not. The documents may come from teaching and research institutions in France or abroad, or from public or private research centers.

L'archive ouverte pluridisciplinaire **HAL**, est destinée au dépôt et à la diffusion de documents scientifiques de niveau recherche, publiés ou non, émanant des établissements d'enseignement et de recherche français ou étrangers, des laboratoires publics ou privés.

THESE

présentée à

L'ECOLE NATIONALE SUPERIEURE DES MINES DE PARIS

par

Jean-François BALDUCCHI

en vue de l'obtention

DU TITRE DE DOCTEUR INGENIEUR

EN

MATHEMATIQUES ET AUTOMATIQUE

ALGORITHME DE RECHERCHE DE POINT-SELLE DE LAGRANGIEN NON STRICTEMENT CONVEXE. APPLICATION A L'OPTIMISATION DES INVESTISSEMENTS POUR UN RESEAU ELECTRIQUE.

Soutenue le 10 Décembre 1982 devant le Jury composé de

Messieurs. Guy CHAVENT Président
Guy COHEN Rapporteur

Jean-Claude DODU .. Examinateur



REMERCIEMENTS

Je tiens à remercier Monsieur CHAVENT, Professeur à Paris IX-Dauphine, pour avoir bien voulu accepter de présider ce jury de thèse.

Je remercie tout particulièrement Nommieur COHEN, Maître de Recherche à l'Ecole Nationale Supérieure des Mines de Paris, qui a dirigé mes travaux, pour l'aide et les précieux conseils qu'il m'a apportés.

Je remercie également Monsieur DODU, Ingénieur à l'EDF qui a bien voulu participer à ce jury.

J'exprime également toute ma reconnaissance aux Charcheurs du Centre d'Automatique et Informatique, qui d'une manière ou d'une autre m'ont aidé dans ce travail, et en particulier Monsieur CARPENTIER dont l'aide et les conseils amicaux sur le plan informatique m'ont été d'un grand secours.

Je remercie enfin et très chaleureusement Madame LE CALLIC pour la réalisation matérielle de ce document.

CHAPITRE I

Présentation du Problème

1. Enoncé du Problème

Btant donnés, d'une part un ensemble de moyens de production électrique, d'autre part la consommation d'énergie électrique, on se propose d'optimiser les capacités de transport des lignes du résesu électrique national, de façon à minimiser la somme des coûts de production électrique et des coûts d'investissement des lignes de transport électrique.

Cette étude, proposée par EDF dans le caire d'un contrat passé avec 1'IRRIA et le CAI de 1'Ecole des Mines de Paris, constitute le support et la motivation essentiels de cette tibse.

Ainsi posé, ce problème présente plusieurs particularités importantes : - En premier lieu, il est de caractère dynamique : chaque année il convient

- ${\tt d}^{\tt e}{\tt estimer}$ la valeur des nouveaux investissements à ajouter à ceux déjà existants.
- Une deuxiène caractéristique du problème est qu'il se pose en variables mixtes (entières et réelles). En effet, les capacités des lignes de transport électrique sont dans la pratique choisie parmi une gamme discrète de valeurs.
- Enfin, et surtout, le système que nous étudions est soumis à un certain nombre d'aléas : indisponibilité des noyens de production, des lignes de transport, et caractère aléatoire de la demande en électricité.

Ceci nous amène à formuler un problème d'optimisation stochastique, avec deux types de paramètres :

- Les capacités des lignes de transport électrique, à valeurs entières, et qui sont en boucle ouverte (c.a.d. indépendantes des aléas).
- Les niveaux de production, qui sont en boucle fermée sur les aléas (c.a.d. fonctions des aléas réalisés).

D'un point de vue physique, on se soumet à l'approximation dite du courant continu, ce qui conduit à prendre en compte les deux lois de Kirchoff régissant le transport de l'énergie électrique sous forme linéaire en termes d'intensités et de tensions. De plus, la complexité du problème réel a conduit EDF à attaquer celui-ci par étapes :

La première étape, dans laquelle nous nous situons, consiste à "oublier" le caractère entier des capacités des lignes de transport, et à ne conserver que la première loi de Kirchoff (la somme des intensités incidentes en un noemd est égale à zéro) pour un réseau agrégé où un noemd représente une région. En effet la prise en compte de la seconde loi de Kirchoff (intensités dans les lignes proportionnelles aux différences de tension aux extrénités) surait peu de sens pour le réseau agrégé. De plus le problème d'optimisation deviendrait alors non convexe. Enfin, on ne tient compte ni des indisponibilités des lignes de transport, ni du caractère alfatoire de la demande en électricité – on considère uniquement le premier palier de la "monotone de charge" correspondant à la puissance maximale appelée dans l'année – et seules les indisponibilités éventuelles des groupes de production sont donc primes en considération.

Ajoutons que le réseau national 400 KV est schématisé pour les besoins de cette étude par un graphe comprenant 48 sommets et 82 arcs (chaque sommet est un noeud de consommation représentant une région). Le parc de production est constitué par 185 centrales.

- Le Modèle mathématique
- 3.1. Le graphe associé au réseau de transport.
- S = {\(\sigma_1, \ldots, \sigma_n\)} représente l'ensemble des n sommets du réseau R
 de transport.
- o est un sommet fictif qui joue le rôle de source pour la production, et de puits pour la demande.

On pose
$$\overline{S} = S \cup \{\sigma_0\}$$

- $\Gamma: \overline{S} \times S \to N$ est une fonction indiquant le nombre d'arcs orientés - $\Gamma(\sigma_{\underline{i}}, \sigma_{\underline{j}})$ - reliant $\sigma_{\underline{i}}$ et $\sigma_{\underline{j}}$ (ici Γ prend les valeurs 0 ou 1).

On définit alors l'ensemble des arcs orientés de la manière suivante :

$$\mathcal{O} = \left\{ \left(\sigma_{\underline{\mathbf{i}}}, \sigma_{\underline{\mathbf{j}}}\right) \ \middle| \ \sigma_{\underline{\mathbf{i}}} \in \overline{\mathbb{S}} \ ; \ \sigma_{\underline{\mathbf{j}}} \in \overline{\mathbb{S}} \ ; \ \Gamma(\sigma_{\underline{\mathbf{i}}}, \sigma_{\underline{\mathbf{j}}}) = 1 \ \right\} \ k < \Gamma(\sigma_{\underline{\mathbf{i}}}, \sigma_{\underline{\mathbf{j}}}) \right\}$$

Dans cet ensemble \mathcal{O} , on distingue trois types d'arcs :

- les arcs de transport (σ_i,σ_i) ∈ α; σ_i ∈ S; σ_i ∈ S
- les arcs de production $(\sigma_0, \sigma_i) \in \mathcal{A}$; $\sigma_i \in S$
- les arcs de consommation $(\sigma_i, \sigma_o) \in \mathcal{A}$; $\sigma_i \in S$

Les noeuds et les arcs du graphe (étant ainsi définis, on désigne par A la matrice d'incidence de C (noeuds/arcs) :

Chaque colonne $\mathbb{A}^{\mathbf{r}}$ de \mathbb{A} est un vecteur de dimension n+1 qui correspond à un élément de \mathcal{Q} (arc orienté (σ_q,σ_q)).

Si R désigne l'ensemble des indexes des éléments de 0, on écrit alors :

$$\forall s \in \overline{S}, \forall r \in \mathbb{R}$$
 $A_s^r = +1$ si $s = j$ (no eud d'arrivée)

 $A_a^{\mathbf{r}} = 0$ sinon.

$$A_3^r = -1$$
 si $s = i$ (need de départ)

3.2. Notations.

On désigne par :

- T l'ensemble des indices des arcs de transport associés aux lignes de transport.
- P l'enseable des indices des arcs de production associés aux moyens de production.
 D l'enseable des indices des arcs de consommation associés à la demande.
- D'essemble des infloes des arcs de Consommation associes à la demande.

 On indice par T, P, D les vecteurs relatifs au transport, à la production, à la demande.
- . Les variables réelles liées au transport (respectivement à la production, à la demande) sont indicées par $t \in T$ (respectivement $p \in P$, $d \in D$).
 - On définit ainsi : - Pour un arc de transport t E T
 - un coût unitaire d'investissement c.
 - une capacité maximale de transport d.
 - une puissance transitée q_t.
 - $\mathbf{c}_{\underline{T}}, \ \ \mathbf{q}_{\underline{T}}'$ et $\mathbf{q}_{\underline{T}}$ sont les vecteurs correspondents.
 - Pour un arc de production p € P
 - un coût unitaire de production \mathbf{c}_{n} .

- une puissance produite q_p .

On désigne par c, q et q les vecteurs correspondants.

- Pour un arc de consommation d € D
- . un coût unitaire de défaillance $c_{\hat{d}}$ (défaillance = demande non satisfaite).
 - . une demande à satisfaire d.
- . une énergie réellement consommée q_d.

q, q et q représentent les vecteurs correspondants.

Remarques : q_p est un vecteur de caractère aléatoire. q_p , q_t , q_t sont les variables de décision du problème de dispatching optimal.

p u tilles sont déterminées en fonction du vecteur aléatoire $\stackrel{\sf V}{q}_p$ mais dépendent également de $\stackrel{\sf V}{q}_p$ qui est un vecteur de dimensionnement à valeur déterministe.

Les vecteurs sans indice désignent la concaténation des vecteurs avec indice P, D, T.

(Exemple :
$$q = \begin{bmatrix} q_p \\ q_D \\ q_T \end{bmatrix}$$
.

Formulation du problème.

Les contraintes s'expriment de la manière suivante :

$$Aq = 0$$
 (1.1)

traduit la première loi Kirchoff.

Par définition, on a aussi :

$$0 < q_p < q_p^V$$
 (1.2)

$$0 < q_{\underline{d}} < q_{\underline{d}}$$
 (1.3)

$$|q_{t}| < q_{t}^{V}$$
 . (1.4)

On considère alors :

$$\Phi(\mathbf{q}_{\underline{\mathbf{T}}}^{\vee}) = \min_{\mathbf{q}_{\underline{\mathbf{T}}}, \mathbf{q}_{\underline{\mathbf{q}}}, \mathbf{q}_{\underline{\mathbf{p}}}} \{\mathbf{e}_{\underline{\mathbf{p}}}\mathbf{q}_{\underline{\mathbf{p}}} + \mathbf{e}_{\underline{\mathbf{p}}}[\mathbf{q}_{\underline{\mathbf{p}}}^{\vee} - \mathbf{q}_{\underline{\mathbf{p}}}]\}$$
(1.5)

sous les contraintes (1.1) à (1.4).

où $\mathbf{c}_{p} \mathbf{q}_{p}$ par exemple désigne le produit scalaire $\sum_{\mathbf{p} \in P} \mathbf{c}_{p} \mathbf{q}_{p}$.

 Φ est une fonction aléatoire (par $\stackrel{\sf V}{q}_p)$ de la variable vectorielle $\stackrel{\sf V}{q}_p$, convexe mais non différentiable en général.

Posons maintenant :

$$\Delta = \{ \overset{\vee}{q}_{\underline{T}} | \overset{\vee}{q}_{\underline{t}} < \overset{\vee}{q}_{\underline{t}} < \overset{\vee}{q}_{\underline{t}} \qquad \forall t \in \underline{T} \}$$
(1.6)

où $\mathbf{q}_{\mathbf{t}}^{\mathbf{t}}$ représente l'investissement existant et $\mathbf{q}_{\mathbf{t}}$ un investissement limite firé par E.D.F.

Le problème se formule alors ainsi :

Coût minimum :
$$\min_{\substack{Q_{\underline{q}} \neq Q_{\underline{q}} \\ Q_{\underline{q}} \in \Delta}} \min_{\substack{Q_{\underline{q}} \neq Q_{\underline{q}}}} \max_{\substack{Q_{\underline{q}} \neq Q_{\underline{q}}}} \max_{\substack{Q_{\underline{q}} \neq Q_{\underline{q}}}} (1.7)$$

où E désigne l'espérance mathématique.

Dans la suite on posera :

$$\varphi(\overset{\vee}{\mathbf{q}_{\underline{T}}}) = \mathbf{q}_{\underline{T}}\overset{\vee}{\mathbf{q}_{\underline{T}}} + \mathbb{E}[\Phi(\overset{\vee}{\mathbf{q}_{\underline{T}}})] \tag{1.8}$$

CHAPITRE II

Approchesprimale et duale

1. Méthode primale .

contraintes (1.4) :

Tel qu'il est formulé en (1.7), le problème peut se résoudre au moyen de méthodes de type primal consistant à essayer de minimiser la fonctionnelle $\P[X_{q_i}]$ pour $X_{q_i} \in \Delta$.

γιμη. pour u_η v...

Four cela on itère sur les valeurs des capacités des lignes de transport en appliquant une méthode de sous-gradient *. Le sous-gradient de φ peutêtre obtenu grâce aux multiplicateurs de Lagrange relatifs aux

Soit $a_{\overline{p}}$ le vecteur des multiplicateurs de Lagrange associés aux contraintes (1.4).

On sait que = $a_{p} \in \partial^{0}(\frac{V}{a_{p}})$ où ∂^{0} représente le sous-différentiel de Φ . Les multiplicateurs optimux n'étant pas toujours uniques, la fonction Φ n'est pas différentiable en général.

- 6 -

$$f(x+y) > f(x) + (\alpha,y)$$
 $\forall y \in \mathbb{R}^n$

^{*} f étant une fonction convexe dan Rⁿ, on appelle sous-differentiel de f au point x, noté δf(x), l'ensemble des vecteurs α de Rⁿ tels que :

es éléments de df(x) sont appelés sous-gradients. Four une fonction convexe en dimension finie, un sous-gradient existe $\forall x \in \text{don } f \text{ (intérieur du domaine de } f \text{ défini par : don } f : [x]f(x) <+\infty))$ mais peut ne pas être unique. Lorsque f est differentiable, il est unique et coîncide avec le gradient $\nabla f(x)$. Prenons l'exemple de $f(x) = \text{Max } f_1(x)$ ou les f_1 sont différentiables. Soit $I(x) = \frac{1}{3} [f_1(x) = f(x)]$. Toute combination convexe $\sum_{x \in f(x)} \nabla f_1(x)$ est un élément du sous différentiel $\delta f(x)$.

Un algorithme de sous-gradient consisterait alors à faire évoluer y = 0, de la manière suivante :

$$q_{T}^{k+1} = P(q_{T}^{k} - \rho^{k} \beta_{T}^{k})$$
 (2.0)

où les ρ^k sont des réels non négatifs tels que $\Sigma(\rho^k)^2 < +\infty$ et $\Sigma \rho^k = +\infty$. P est la projection sur Δ et $\beta_m^k = c_m - \mathbb{E}(a_m^k)$.

Du fait de la présence de l'espérance mathématique dans (1.7), on peut soit en faire une approximation par une moyenne sur un grand nombre de réalisations comme nous le verrons plus loin (le calcul exact de l'espérance nécessiterait la moyenne sur 2¹⁸⁵ réalisations), soit calculer le sous-gradient à chaque étape sur une seule réalisation tirée au hasard.

Cette dernière option est la méthode du sous-gradient stochastique mise au point à l'INRIA par J.P. QUADRAT et M. VIOT (JC. Dodu et al, 1981).

II.2. Une approche duale.

On peut aussi reformuler différemment (1.7) de manière à obtenir un problème de Min-Max.

Reprenous le problème (1.7) et plaçons-nous à l'optimum : soit $\overset{\vee}{\mathsf{d}}_{\underline{\mathsf{t}}}^*$ la valeur optimale de $\overset{\vee}{\mathsf{q}}_{\underline{\mathsf{t}}}$ et $\overset{\vee}{\mathsf{q}}_{\underline{\mathsf{t}}}(\omega)$ la valeur optimale de $\overset{\vee}{\mathsf{q}}_{\underline{\mathsf{t}}}$ dans le problème (1.5), correspondant à $\overset{\vee}{\mathsf{d}}_{\underline{\mathsf{t}}}^*$ dans (1.4) et à l'aléa $\omega^{(1)}$ (c'est à dire à $\overset{\vee}{\mathsf{q}}_{\underline{\mathsf{t}}}(\omega)$ dans (1.2)). Les coordonnées de $\overset{\vee}{\mathsf{c}}_{\underline{\mathsf{t}}}$ étant positives, il est clair que :

$$q_{\underline{n}}^{\bullet} = \text{Max}[\frac{Max}{\omega}|q_{\underline{n}}(\omega)|_{s}q_{\underline{n}}^{\bullet}]^{(2)}$$
(2.1)

En effet, s'il n'en était pas ainsi, la capacité maximale ne serait utilisée complètement dans aucune des situations aléatoires.

Introduisons un aléa supplémentaire, fietif, ω_0 , de probabilité nulle, auquel on associe un coût de production nul et une solution optimale $q_{q}(\omega_0) = \frac{q_0^2}{2}$ (l'investissement existant).

^{- 7 -}

⁽¹⁾ L'indice ω repère toutes les réalisations possibles du vecteur aléatoire $\stackrel{V}{\gamma}$. Ces réalisations sont en nombre fixé : 2m où m est le nombre de groupes de production.

La notation Max porte désormais sur ω et sur toutes les réalisations ω possibles. Le coût minimum (1.7) peut alors se réécrire :

$$- \mathbf{c}_{\mathbf{D}} \overset{\mathsf{d}}{\mathsf{q}}_{\mathbf{D}} - \mathbf{c}_{\mathbf{T}} \overset{\mathsf{d}}{\mathsf{q}}_{\mathbf{T}}^{\mathsf{d}} + \underset{\mathsf{q}(\omega)}{\text{Min}} \{ \mathbf{E}_{\omega} [\mathbf{c}_{\mathbf{p}} \mathbf{c}_{\mathbf{p}} (\omega) - \mathbf{c}_{\mathbf{D}} \mathbf{q}_{\mathbf{D}} (\omega)] + \mathbf{c}_{\mathbf{T}} [\mathbf{M}_{\mathbf{M}}^{\mathsf{M}} | \mathbf{q}_{\mathbf{T}} (\omega)] \} \}$$

sur les contraintes
$$Aq(\omega) = 0$$
 (i)

$$|q_t(\omega)| < q_t$$
 (ii)

(2.3)

$$0 < q_{\underline{d}}(\omega) < \overline{q}_{\underline{d}}$$
 (iii)

$$0 \le q_p(\omega) \le q_p'(\omega)$$
 (iv)

L'introduction de la contrainte (2.3)-(ii) permet de tenir compte de la contrainte correspondante sur $q_{\xi}[cf.(1.6)]$ puisque cette variable a maintenant disparue.

On considère ensuite une approximation de l'espérance mathématique E par la moyenne arithmétique sur un nombre fini N de réalisations tirées suivant un processus de génération de nombres pseudo-aléatoires conforme à la loi des pannes des moyens de production.

De plus, on resplace l'opération de maximisation discrete sur les aléas par une maximisation continue en faisant la renarque suivante : le maximum de N nombre réels est égal au maximum de leurs combinaisons convexes. On obtient donc, avec $\omega = 0$ désignant l'aléa fictif introduit plus haut :

$$\underset{\omega = 0, N}{\text{Max}} |_{q_{\pm}(\omega)}| = \underset{p_{\pm}(\omega)}{\text{Max}} \underset{p_{\pm}(\omega)}{\text{N}} [|_{q_{\pm}(\omega)}|_{p_{\pm}(\omega)}]. \qquad (2.4)$$

Les N+1 vecteurs $p(\omega)$ sont de dimension cardT (nombre de lignes de transport) et vérifient pour tout $\omega = 0,...,N$:

$$\begin{array}{ccc} \psi_t \in \mathfrak{T} & p_t(\omega) > 0 \\ & \sum\limits_{\omega = 0}^M p_t(\omega) = 1 \end{array} \tag{2.5}$$

Le coût minimal s'écrit donc finalement :

$$\mathbf{c}_{D}\overset{\mathsf{d}}{\mathsf{q}}_{D} - \mathbf{c}_{T}\overset{\mathsf{d}}{\mathsf{q}}_{0}^{\mathsf{d}} + \underset{\mathsf{q}}{\mathsf{Min}} \underset{\mathsf{max}}{\mathsf{Max}} \big\{ \sum_{\omega=1}^{N} \big[\frac{1}{H} (\mathbf{c}_{p} \mathbf{q}_{p}(\omega) - \mathbf{c}_{D} \mathbf{q}_{D}(\omega)) \big] + \sum_{\omega=0}^{N} \big[\mathbf{c}_{T}(\omega) \big| \mathbf{q}_{T}(\omega) \big| \times p(\omega) \big] \big\}^{(5)} \\ (2.6)$$

sous les contraintes (2.3) et (2.5).

On peut parvenir au même résultat en partant de (1.7), en remplaçant l'espérance mathématique par la moyenne arithmétique et en dualisant les contraintes $|\mathbf{q}_{\mathbf{t}}(\omega)| \leq \mathbf{q}_{\mathbf{t}}'$ (multiplicateurs $\lambda(\omega) > 0$) et $\mathbf{q}_{\mathbf{q}}' \leq \mathbf{q}_{\mathbf{t}}'$ (multiplicateur $\mu > 0$). Par ailleurs, l'autre contrainte sur $\mathbf{q}_{\mathbf{t}}'$ dans (1.6) peut-être supprimée à condition d'introduire les contraintes (2.3)-£i). On obtient alors :

$$\min_{ \substack{ \forall \alpha_1 \\ \forall \alpha_2 \neq \alpha_3 \\ \text{ } } } \max \left\{ \mathbf{c}_{\alpha_1} \stackrel{\forall}{\forall}_{\alpha_2} + \frac{1}{N} \sum_{\omega=1}^{N} \left[\mathbf{c}_{p} \mathbf{q}_{p}(\omega) - \mathbf{c}_{p} \cdot \mathbf{q}_{p}(\omega) \right] - \mathbf{c}_{\alpha_2} \stackrel{\forall}{\forall}_{2} + \mu - (\stackrel{\forall}{\forall}_{\alpha_1} + \stackrel{\forall}{\forall}_{2} + \stackrel{N}{\forall}_{2}) \cdot \underbrace{N}_{\omega=1} \lambda(\omega) \left[-\stackrel{\forall}{\forall}_{\alpha_2} + \mathbf{q}_{\alpha_2}(\omega) \right] \right] \right\}$$

(2.7)

sous les contraintes (2.3).

Compte-tenu de la linéarité en $\overset{\vee}{V_{th}}$, et du fait qu'auœune contrainte ne pèse plus sur $\overset{\vee}{V_{th}}$, il est nécessaire que le coefficient \hat{U} e $\overset{\vee}{V_{th}}$ soit fuit afin que le minimum en $\overset{\vee}{V_{th}}$ soit fuit. Par conséquent $\overset{\vee}{\sum}$ $\lambda(\omega) + \mu = c_{\chi}$. En posant $p_{\psi}(\omega) = \frac{1}{c}$ $\lambda(\omega) > 0$ pour $\omega = 1, \ldots, N$ et $p_{\psi}(0) = \frac{1}{c}$ $\mu > 0$ on retrouve alors $(\overset{\vee}{Z}, 5)$. Ces conditions étant vérifiées à l'optimum on peut les inclure dans les contraintes ans modifier le problème et il est clair que l'on retrouve ainsi (Z, 5).

Le critère est additif en u, et à l'exception de la contrainte de normalisation dans (2.5), toutes les contraintes sont découplées, u par u. Il est donc intéressant de pouvoir intervertir le Min et le Max afin de décomposer la minimisation globale en N minimisation indépendantes. La convexité rend possible cette interve raion grâce à des théorèmes

⁽⁵⁾ Bopération × est un produit de vecteurs dont le résultat est un vecteur de même dimension et dont la i^{bme} coordonnée est le produit des i^{bme} ongrédonnées.

classiques de point-selle.

On aboutit ainsi à une reformulation duale du problème initialement posé : îl s'agit de déterminer un point-selle, les variables duales étant astreintes à appartenir au produit cartésien de sous-ensembles compacts de cônce positifs définis par (2.5).

CHAPITRE III

Résolution des Problèmes de Min-Max par l'approche duale.

Nous abordons dans ce chapitre, avec des notations générales, l'étude des problèmes de Min-Max et leur résolution par méthode duale.

1 - Notations

Nous considérons le problème suivant :

Sous les hypothèses :

(i) I = {1,...,n}, n ∈ N (Le sup est donc un max dans (3.1))
U est un sous ensemble convexe fermé d'un espace de Hilbert U.

(ii) Les fonctions θ₁ sont convexes propres, senf-continues inférieurement sur U et telles que U ⊂ ∩ don θ₁ (ceci implique donc que les fonctions θ₁ it sont continues sur U et senf-continues inférieurement rour la tocologie faible).

(3.1)

(3.2

on a alors $\lim_{k \to +\infty} \theta_i(u^k) = +\infty$.

Sous ces hypothèses, la fonction : $u \to Max \theta_1(u)$ satisfait également les conditions (ii) et (iii).

Par suite l'infimum (3.1) est fini et il est atteint en un point $u^* \in U$. De plus si les fonctions θ_i sont strictement convexes, ce minimum est unique.

- Transformation du problème

La simple remarque triviale que le mazimum de n nombres réels est égal au mazimum de leurs combinaisons convexes nous permet de dire que le problème (3.1) est équivalent au problème suivant :

_ 11 _

⁽⁴⁾ Cette formulation de l'hypothèse (iii) est suffisante pour l'existence d'une solution de (5.1). Du point de vue algorithmique (cf. plus loin), il faudra renforcer (iii) en supposant la propriété vérifiée pour tout i.

avec

$$\Sigma = \{p \in \mathbb{R}^n ; p_i > 0 ; i = 1,...,n ; \sum_{i=1}^n p_i = 1\}$$
 (3.3-1)

Remarque 1: La formulation (3.3) peut comme au chapitre précédent être obtenue à partir du problème suivant :

sous les contraintes
$$\theta_{\underline{i}}(u) < y$$
. (3.5)

En introduisant des multiplicateurs p_i > 0 pour les contraintes (3.5) on obtient le Lagrangien

$$L(u,y,p) = y + \langle p,\theta(u) - y \rangle$$

et la condition d'optimalité L' = 0 donne

où 1 représente le vecteur de Rⁿ de coordonnées égales à 1. Alors le Lagrangien minimisé en y vaut :

$$L(u,p) = \langle p, \theta(u) \rangle$$
.

La fonction $(u,p) \to c_p,\theta(u) >$ est conveme to continue en u sur U, continue et linéaire en p, donc concave en p.

Par ailleurs, grâce à l'hypothèse (3.2)—(iii) on peut affirmer que si U n'est pas borné, S $p^o = (0,\dots,0,1,0\dots0)$ où 1 est en position i tel que $Y\{u^k\} \subset U$ avec $\lim_{k \to \infty} \frac{\|k^k\|}{n} = +\infty$, on a alors

$$\lim_{k \to \infty} \langle p_0, \theta(u^k) \rangle = + \infty.$$

 Σ est borné et on peut donc utiliser les théorèmes classiques d'existence de point-selle concernant les fonctionnelles convexes-concaves qui nous permettent d'affirmer que le problème (3.3) adact un point-selle $(u^*,p^*) \in U \times \Sigma$, c'est à dire réalisant les inégalités suivantes :

$$\forall u \in U$$
, $\forall p \in \Sigma$, $\langle p, \theta(u^*) \rangle \leq \langle p^*, \theta(u^*) \rangle \leq \langle p^*, \theta(u) \rangle$ (3.6)

et on a alors la propriété :

3 - Algorithme.

La resarque 1 du paragraphe préodéent concernant l'équivalence des problèmes (3.3.) et (3.4)-(3.5) nous ambne à penser à un algorithme d'Uzawa pour la recherche du point-selle du Lagrangien du problème (3.4)-(3.5).

Malheureusement la linéarité en y fait qu'un tel algorithme ne permet par de trouver une solution primale optimale en général (cf. chapitre IV). On peut alors essayer de résoudre directement le problème dual de (5,5) (problème de Max-Min) par l'algorithme d'Uzawa, ce qui conduit à une projection sur E à chaque étapse de remine à jour de p. L'algorithme sinsi obteum a été proposé par Cés (1971) et Medanic-Andiélic (1972).

L'inconvenient de cet algorithme réside dans le calcul de la projection sur E qui nécessite un processus itéraif asses lourd du point de vue du temps calcul sur ordinateur. Afin déviter le calcul de cette projection sur E, tout en conservant les sultiplicateurs duaux dans E, l'on procède en deux étapes :

a) première étape :

On considère un algorithme comportant une projection sur C uniquement (C = $\{p \in \mathbb{R}^n \ , p_1 > 0\}$) et résultant de deux lemmes qui suivent, énoncés et démontrés par G. Cohen (1981).

Lemme 1. Soit ERn le vecteur dont toutes les coordonnées sont égales à 1.

Soit
$$\Phi$$
 la fonction de $\mathbb{U} \times \mathbb{R}^n - \overline{\mathbb{R}}$ définie ainsi :
$$\begin{cases} (u,q) \to & \frac{q_1,\theta(u)>}{q_1,1>} & \text{quand } q \neq 0 \end{cases}$$

Une condition nécessaire et suffisante pour que $u^* \in \mathbb{U}$ soit une solution de (\mathfrak{I}_*1) est que $\mathfrak{I} \mathfrak{q}^* \in \mathbb{C}$ tel que (u^*, \mathfrak{q}^*) réalise un point-selle de Φ sur $\mathfrak{G} \times \mathbb{C}$.

Puisqu'on s'intéresse à la recherche de point-selle de la fonctionnelle (u.p) → <p.θ(u)> sur U × Σ, on peut toujours modifier celle-ci à l'extérieur de Σ. L'avantage de Φ est qu'on peut étendre la recherche du point-selle de U × Σ à U × C car Φ est positivement homogène de degré zéro (Φ(u,λp) = Φ(u,p), Yλ ∈ R+) et quasi-concave en p. Lemme 2 : Une condition nécessaire et suffisante pour que (u*.q*) soit

$$\forall u \in U, \ \Phi(u^*,q^*) \leq \Phi(u,q^*)$$
 (3.8)

$$\forall p > 0, \quad q^* = \mathbb{P}[q^* + pA(u^*)q^*]$$
 (3.9)

où A(u) est l'opérateur défini par :

et P est la projection sur le cône positif C.

un point-selle de @ sur U x C est que : *

En fait (3.9) est équivalente à l'inégalité de gauche du point-selle de \$\Psi\$ sur U × C.

L'algorithme obtenu est un algorithme de point fixe pour la résolution de l'équation (3.9), en vérifiant (3.8) à chaque étape. Algorithme 1 :

(i) soit q° ≠0 élément de C.

(ii) Min <qk,θ(u)>

et soit uk une solution

(iii) qk+1 = P[qk+pA(uk)ak]

(iV) Retour à (ii) avec k + k+1 ou arrêt, suivant le résultat du test de convergence.

b) deuxième étape :

Dans un second temps, on fait la remarque suivante : Remarque 3 : Si à l'étape k, on change qk en aqk avec a > 0, alors uk n'est pas modifié et les q^j suivants pour j > k sont changés en aq^j. Ceci signifie que l'algorithme génère une suite de directions qk et non pas seulement une suite de points.

En conséquence, il est possible de modifier légèrement l'algorithme 1.

Algorithme 2 :

(i) soit p⁰ ∈ Σ.

et
$$p_{\underline{i}}^{k+1} = \left[\sum_{\underline{i} \in I} q_{\underline{i}}^{k+1}\right]^{-1} q_{\underline{i}}^{k+1}$$
 $\forall \underline{i} \in I$ (3.11)

Cat algorithme dont les opérations de remise à jour de pk, sont ici détaillées est donc une variante de l'algorithme 1, où q est remplacé à chaque étape par le pk du simplexe, correspondant à cette même direction qk.

Définition : Une fonctionnelle K définie sur U est "localement" fortement convexe sur U si pour tout sous-ensemble borné B de U il existe un nombre positif a telque :

$$K[\alpha u + (1-\alpha)v] \le \alpha K(u) + (1-\alpha)K(v) - \alpha (1-\alpha)a ||u-v||^2$$
. (3.12)

Si K est sous-differentiable, ceci équivaut à dire que son sous-différentiel est localement fortement monotone, c'est à dire que :

 $\exists a > 0 : t(u,v) \in B$, $\forall c \in \partial K(u)$, $\forall d \in \partial K(v)$

$$<_{u-v}> > 2a||u-v||^2$$
. (3.13)

Théorème : Si en plus des hypothèses (3.2) (où (3.2-iii) est renforcée comme indiqué dans la note de bas de page)), ê est "localement" fortement convere sur U et Lipschitzienne sur tout borné de U(5), l'algorithme 2 génère une suite {uk} unique, pour un po donné, et il existe des valeurs p > 0

^{- 15 -}

⁽⁵⁾ C'est assuré lorsque u est de dimension finie.

tels que este suite $\{u^k\}$ converge vers l'unique solution u^* du problème (3.1); la suite $\{a(u^k,p^k)\}$ est monotone croissante et tout point d'adhérence de la suite $\{p^k\}$ réalise avec u^* un point-selle. La preuve de ce thorrème ent donnée par G. Cohen (1981).

Remarque 4 : lorsque les fonetions e, ne sont pas strictement convexes, l'unicité de u^k, solution de l'étape (ii) de minimisation dams l'algorithme, n'est plus assurée. Il en ≝sulte que la fonetion ∳ définie par

n'est pas différentiable mais sous-différentiable en général.

L'algorithme 2, résolvant Max $\phi(p)$, est alors un algorithme de sous-

gradient projeté. Il ne converge pas avec un pas $\,\rho\,$ fixe mais avec un pas $\,\rho^{\bf k}\,$ décroissant et tendant vers 0, et tel que :

$$\sum_{0}^{\infty} (\rho^{k})^{2} < + \infty \qquad \text{et} \quad \sum_{0}^{\infty} \rho^{k} = + \infty.$$

Cependant on n'est pas du tout assuré de la convergence de la suite u^k comme cela est discuté au chapitre suivant.

Lagrangien non strictement convexe.

1 - Introduction

Dans le problème du chapitre précédent, la non unicité de la solution du problème de minimisation intervenant dans (3.14) soulève en plus de la non différentiabilité de (définie par (3.14)), une difficulté supplémentaire : aême si l'on parvient à trouver un système de multiplicateurs duaux optimaux (maximisant la fonction duale 4), on n'a pas pour autant déterminé la solution primale.

En effet, reprenons les notations du chapitre précédent et plaçon nous dans le cas où la suite $[p^k]$ converge vers un p^* optimal; il y a un risque alors (et en fait une forte probabilité) pour que la solution $d(p^*) \in Arg Min < p^*, \theta(u) >$ obtenue au prenier niveau de l'algorithme ne soit pas une solution u^* du problème (3.5), étant donné que l'ensemble $Arg Min < p^*, \theta(u) >$ contient d'autres points que les solutions de (3.5).

Cela signifie donc que l'algorithme à la Uzawa détaillé dans le chapitre précédent n'a pratiquement aucune chance de fournir une solution du problème intial.

Dans ce chapitre, nous allons considérer de la manière la plus générale possible le problème suivant (le même que celui du chapitre précédent). Trouver un roint-selle de

$$L(u,p) = J(u) + \langle p, \theta(u) \rangle$$
 (4.1)

sur l'ensemble U × P.

Les hypothèses (H) sont les suivantes :

(H-1) J est une fonction convexe, semi-continue inférieurement, définie sur l'espace de Hilbert u et u est un sous-ensemble convexe fermé de u .

Quand U n'est pas borné, nous supposons de plus que

$$J(u) \rightarrow +\infty$$

si $||u|| \rightarrow +\infty$, u restant dans U.

On dira alors que J est coercive sur U.

(H-ii) 8 est une fonction de u dans C (espace de Hilbert) et C est
-un cône convexe fermé de C . 8 est C-convexe, ce qui signifie que :

On suppose de plus que la fonctionnelle

C* étant le cône conjugué de C.

(B-iii) P est un sous-ensemble convexe fermé de C*. Quand P n'est pas borné, nous ferons l'hypothèse supplémentaire suivante, appelée condition de Slater, ou de qualification des contraintes :

$$\mathfrak{T} u^{\circ} \in \mathbb{U}$$
 tel que $\theta(u^{\circ}) \in \mathcal{C}$

où C représente l'intérieur, supposé non vide, de C. Lorsque P = C*, L est le lagrangien du problème

Min
$$J(u)$$
 sous $\theta(u) \in C$ (4.2)

et la recherche du point-selle sur U × C* fournit la solution de (4.2). Si P = E (cf(3.3)-1)) et si J = 0, on retrouve le problème (3.3) du chapitre précédent. On notera alors que l'hypothèse de coercivité (si U n'est pas borné) est reportée sur θ (cf.(3.2-iii)), ce qui n'est pas gênant car O f E. On peut aussi rester dans le contexte du problème (4.2) en utilisant la formulation (3.4)-(3.5) (même observation concernant la coercivité de J (u,y) = y).

Dans le cadre de cette formulation, nous pouvons illustrer la remarque faite plus haut concernant l'unicité, par l'exemple suivant :

soit
$$U = C = R$$
, $C = R^+$, $T = [-10,+10]$

$$J(u) = -u \quad \theta(u) = |u| -1.$$

Dans ce cas, 1 unique solution du problème (4.2) est $u^* = 1$ et le multiplicateur optimal unique est $p^* = 1$.

Cependant, ArgKinL(u,1) n'est pas réduit à $\{1\}$ mais est égal au segment [0,10]. Cela signifie que toute valeur de [0,10] est une solution du problème Min $L(u,p^*)$. utU

Mais tout algorithme fournissant une suite $\{p^k\}$ convergente, approchera p^* soit par la droite, soit par la gauche; étant donné que

il en resulte que l'algorithme considéré fournit une suite $\{u^k\}$ ayant soit 0, soit 10, soit les deux valeurs, pour points d'adhérence.

For suite, l'unique bonne solution $u^*=1$ ne peut en augun ons être obtenue au moyen d'un tel algorithme, et ce bien que la suite $\{p^k\}$ générée converge bien vers $p^*=1$.

2 - Stabilité. L'ensemble des points-selle du Lagrangien L(u,p) est toujours de la forme

U* × P*, où U* et F* sont convexes, fermés, bornés.

Il en resulte que si l'on désigne par U(p) l'ensemble des u \in U minimisant L pour un p donné, la difficulté que nous venons de mettre en évidence ne provient pas du fait que U* n'est pas un singleton, mais plus généralement du fait que $\overline{\mathbb{U}}(v^*) \neq \overline{\mathbb{U}}(v^*) = \overline{\mathbb{U}}(v^*) = \overline{\mathbb{U}}(v^*)$.

du fait que $\mathbb{U}(p^n) \neq \mathbb{U}^n$ (on a toujours $\mathbb{U}(p^n) = \mathbb{U}^n$). En effet, dans le cas où $\hat{\mathbb{U}}(p^n) = \mathbb{U}^n$, l'algorithme considéré dans le chapitre préodient fournie comme points d'adhérence de la suite $\{u^k\}$ des éléments de $\hat{\mathbb{U}}(p^n)$, et donc des solutions du problème primal. Dans ce cas, favorable, où $\hat{\mathbb{U}}(p^n) = \mathbb{U}^n$ $\mathbb{V}p^n \in \mathbb{P}^n$, l'ensemble des points-selle est

dit stable.

Il d'agit là d'une stabilité en u, pertinente pour les algorithmes du type
Usawa. Pour les algorithmes de type Arrov-Burwics où u et p jouent
un rôle symétrique il faudrait exiger également la stabilité en p:

 $\hat{P}(u^*) = P^*$, $Vu^* \in U^*$ avec des notations similaires.

n'est cependant vérifiée à coup sûr que dans le cas où Û(p) est un

Cependant celle-ci est illusoire pour des fonctionnelles linéaires en p telles c que L_p asuf si $w \in U^*$, $\theta(u^*) \in -C_p$ c'est à dire $P^* = [0]$. Cette propriété de stabilité en u, moins restrictive que l'unicité de u^* ,

singleton (quand L est strictment convexe en u). Elle est donc rarement vérifiée en pratique (le cas des lagrangiens augmentés sera discuté plus loin).

3 - Approximations successives de 4

Pour maximiser la fonctionnelle duale

$$\phi : p \rightarrow \underset{u}{\text{Min }} L(u,p)$$
 (4.3)

On peut utiliser l'approche développée dans Landon (1970). Cette approche consiste à résoudre un programme linéaire comportant un nombre croissant de contraintes à chaque itération. La méthode s'appuie sur une approximation externe de ¢ par une enveloppe inférieure concave, constituée d'un nombre fini d'hyperplans support de ¢. L'approximation est redéfinie à chaque itération par l'addition d'un nouvel hyperplan au point maximum de l'enveloppe précédente. La recherche de ce point maximum à l'étape n de l'algorithme se fait au moyen d'un programme linéaire dont le programme dual fournit une solution primale uⁿ admissible convergeant vers une solution u* quand n -+ ∞.

Décrivons l'algorithme dans le cas du problème (4.2) (dans le cas du problème

Décrivons l'algorithme dans le cas du problème (4.2) (dans le cas du problème formulé-au chapitre précédent, on peut utiliser (5-4)-(3.5)). La recherche du maximum de l'enveloppe inférieure d'hyperplans support de ϕ aux points $y^{\mu}(x=1,...,n)$ d'équations :

$$z = \phi(z^k) + \langle z_{p-p}^k, \theta(z^k) \rangle = J(z^k) + \langle z_p, \theta(z^k) \rangle$$

où
$$v^k \in Arg Min L(u,p^k)$$
, donc $\theta(v^k) \in \partial \phi(p^k)$,

se formule

sous la contrainte $z \leq J(v^k) + \langle p, \theta(v^k) \rangle$, $k = 1, \dots, n$.

Soit pⁿ⁺¹ la solution de ce problème.

Le problème dual se formule alors :

$$\min \ \sum_{k=1}^n \ \alpha^k \ \mathtt{J}(\mathtt{v}^k)$$

sous les contraintes
$$\sum\limits_{k=1}^{n}\alpha^k=1$$
 , $\alpha^k>0$, $k=1$, ...,n (4.5)
$$\sum\limits_{k=1}^{n}\alpha^k\;\theta(v^k)\; \epsilon-c\;.$$

Soit $\{a_n^k\}$ k = 1, ...,n une solution.

Alors, en raison de la C-converité de 0 et grâce à (4.5), il est clair que $u^n=\sum\limits_{k=0}^n a_k^{k}$ é U vérifie la contrainte du problème primal (4.2). On

démontre que $u^n \rightarrow u^*$ quand $n \rightarrow +\infty$.

L'étape n de l'algorithme consiste donc, connaissant $\{(v^k, p^k); k=1, \ldots, n\}$ à résoudre par la programmation linéaire les problèmes duaux (4.4) et (4.5), ce qui définit p^{n+1} et u^n (et les a_n^k). Puis on doit résoudre :

ce qui fournit \mathbf{v}^{n+1} et donc une nouvelle paire $(\mathbf{v}^{n+1},\mathbf{p}^{n+1})$ pour formuler le problème (4.4) à l'étape n+1. Dans le cas où J (et θ) sont additifs $(J(\mathbf{u}) = \sum_{i=1}^N J_i(\mathbf{u}_i)...)$, il est

possible d'ajouter N contraintes-supplémentaires à (4.4), à chaque itération. Mais comme on ne peut en contrepartie supprimer au cours de l'algorithme certaines contraintes qui ne sont pas saturées, sous peine de ne plus assurer la convergence en cas de dégénérescence, il en résulte alors une augmentation très sensible de la taille de la mémoire de stockage. Ceci constitue donc pour les problèmes de grande dimension un handicap sérieux. Cette orientation ne semble donc pas devoir être retenue dans notre contexte.

4 - . Solutions à la "Russe"

Folyak (1978) mentionne d'autres méthodes pour résoudre les problèmes de point-selle sans hypothèse de "stabilité". Ce sont des méthodes qui s'inspire davantage de l'algorithme d'Arrow-Burvics que de celui d'Usava. Pour forcer l'unicité de la solution à chaque étape du calcul,

Bakushinskii et Folyak (1974) proposent par exemple d'ajouter au Lagrangien une fonctionnelle strictement convexe-concave (convexeen u et concave en p),

tendant vers 0 au voisinage de l'optimum. Cette idée, à priori très séduisante, présente l'inconvénient suivant lors de son application au schéma de l'algorithme d'Usava.

Dans le cas d'un problème de minimisation linéaire (ou linéaire par morceaux) au premier niveau, pour lequel des méthodes de résolution très performantes existent, l'introduction d'un terme strictement convexe interdit leur utilisation. C'est justement le cas du problème qui a motivé notre étude et pour lequel nous utilisons un programme linéaire très performant mis au point à 1°E D. P par Maurras (1972).

Toujours en s'inspirant de Arrow-Hurwicz, Nurminskii et Verchenko (1977) proposent pour leur part l'algorithme suivant :

$$\begin{split} \mathbf{u}^{\mathbf{k+1}} &= \Pi^{\bullet} \big[\mathbf{u}^{\mathbf{k}} \!\!-\! \boldsymbol{\varepsilon}^{\mathbf{k}} \boldsymbol{L}^{\bullet}_{\mathbf{u}} \big(\mathbf{u}^{\mathbf{k}}, \mathbf{p}^{\mathbf{k}} \big) \big] \\ \\ \mathbf{p}^{\mathbf{k+1}} &= \Pi \big[\mathbf{p}^{\mathbf{k}} \!\!+\! \! \boldsymbol{\rho}^{\mathbf{k}} \boldsymbol{L}^{\bullet}_{\mathbf{p}} \big(\mathbf{u}^{\mathbf{k}}, \mathbf{p}^{\mathbf{k}} \big) \big] \end{split}$$

où Π^* représente la projection sur U et Π la projection sur P. L'examen des conditions de convergence de ce nouvel algorithme révèle que en sus des conditions sur les "petits pas" ρ^k et c^k , si $\rho^k / _{c^k}$ tend vers 0 (à une certaine vitesse) quand k tend vers $+\infty$, toute limite de la suite $\{p^k\}$ appartient à P^* , mais dans ce cas aucun u^* de U^* n'eat généralement atteint. De même, si $c^k / _{\rho} k$ tend vers 0 (à une certaine vitesse) lorsque k tend vers $+\infty$, c'est la suite $\{u^k\}$ qui converge vers un élément u^* de U^* alors que la suite $\{p^k\}$ ne converge généralement pas dans P^* .

L'obtention d'un point-selle $(u^*, p^*) \in U^* \times P^*$ su moyen d'un tel algorithme n'est donc pas possible (à moins de faire "tourner" deux fois l'algorithme avec des conditions différentes sur le ratio e^k / p^k). De plus, l'extension à un algorithme de type Umawa n'est pas immédiate.

5 - Lagrangien augmenté

Les lagrangiens augmentés permettent de garantir la stabilité en u (cr. Rockafellar (1973)). Par contre, ils ont comme pour l'algorithme de Bakhusinkii et Polyak, l'inconvénient de transformer le programme primal linésire en programme non linésire. Le lagrangien augmenté peut s'introduire de la manière suivante : partant du problème (4.2), on transforme la contrainte inégalité en contrainte égalité en introduisant en terme ξ \in C tel que l'on se ramène au problème suivant :

On peut ensuite se libérer de la contrainte (4.6-ii), soit en ajoutant un terme quadratique de pénalisation, soit en dualisant ces contraintes en introduisant des multiplicateurs $p(C \mathcal{O}^*)$.

L'idée du lagrangien augmenté est de superposer les deux procédés, ce qui aboutit à :

$$\overline{L}_{\mathbf{c}}(\mathbf{u}, \xi, p) \ = \ \mathbb{J}(\mathbf{u}) \ + \ \mathbf{c} < p, \theta(\mathbf{u}) + \xi > \ + \frac{\mathbf{c}}{2} \ \left\| \theta(\mathbf{u}) \ + \ \xi \right\|^2$$

En minimisant par rapport à ξ € C on obtient :

avec c > 0.

$$L_{\mathbf{c}}(\mathbf{u}, \mathbf{p}) = J(\mathbf{u}) + \frac{\mathbf{c}}{2} \left[\|\Pi[\theta(\mathbf{u}) + \frac{\mathbf{p}}{\mathbf{c}}]\|^2 - \|\frac{\mathbf{p}}{\mathbf{c}}\|^2 \right]$$
 (4.7)

qui représente le lagrangien augmenté du problème (4.2).

On démontre que l'ensemble des points-selle de L_0 sur $\mathbb{U} \times C^*$ (et non pas sellement sur $\mathbb{U} \times \mathbb{C}^*$) est le même que pour L sur $\mathbb{U} \times \mathbb{C}^*$. On le notera donc encore $\mathbb{U}^* \times \mathbb{P}^*$ et \mathbb{U}^* est l'ensemble des solutions de (4.2).

Soit
$$\psi_{\mathbf{c}}(p) = \min_{\mathbf{u} \in \Pi} L_{\mathbf{c}}(\mathbf{u}, p)$$
 (4.8)

Il est clair que si J n'est pas strictement convexe, L_{c} ne l'est pas en général non plus et $\hat{\vec{v}}_{c}(p)$ = Arg Min $L_{c}(u,p)$ n'est pas en général un $u\in U$

singleton (penser au cas où U* lui-même n'est pas un singleton). Cependant, comme démontré par Rocksfellar (1973) en dimension finie (cf. Zhu (1982) en dimension infinie), le lagrangien augmenté défini par (4.7) a deux propriétés intéressantes : a) la fonction φ définie par (4.8) est différentiable. Ceci s'explique par le fait que φ est reliée à φ (définie par (4.3)) par la relation

$$\phi_{\mathbf{c}}(\mathbf{p}) = \max_{\mathbf{q} \in \mathbb{C}^*} \{ \phi(\mathbf{q}) - \frac{1}{2\mathbf{c}} \|\mathbf{q} - \mathbf{p}\|^2 \}$$
 (4.9)

Celle-ci se démontre en utilisant le problème dual du problème

Min L_c(u, g, p).

définissant L_{c} . La différentiabilité est une conséquence du fait que le Max est atteint en un point unique dans (4.9).

Du point de vue algorithmique, on pourra donc utiliser un algorithme d'Uzawa à "grand pas" (p > 0) ce qui est un avantage à la fois par rapport à sethode de Lasdon (où il faut résoudre un programme linéaire complet pour remettre à jour p) et par rapport aux méthodes "à la Russe" qui utilisent des "petits pas".

b) Le lagrangien augmenté est stable en u. En effet

$$\forall p * \in P *, (\phi_{\mathbf{c}})^*(p *) = 0$$
 (4.10)

puisque P* = Arg Max $\phi_{\mathbf{c}}(\mathbf{p})$ et que $\phi_{\mathbf{c}}$ est différentiable.

Mais :

$$(\phi_{\mathbf{c}})^{\dagger}(p^{\star}) = (L_{\mathbf{c}})^{\dagger}_{\mathbf{p}}(\hat{\mathbf{d}}, p^{\star})$$
 (4.11)

pour tout $\hat{u} \in \hat{U}(p^*)$ (cf. (4.18) ci-après et la remarque qui suit (4.18)), c'est à dire vérifiant

$$L_{\alpha}(\hat{u}, p^*) \leq L_{\alpha}(u, p^*)$$
, $\forall u \in U_*$ (4.12)

D'après (4.10), (4.11), on déduit que p* réalise aussi le maximum de p — $L_x(\mathbf{0}$,p) sur \mathcal{C}^* .

On a donc :

$$L_{\mathbf{c}}(\hat{\mathbf{u}}, \mathbf{p}) \leq L_{\mathbf{c}}(\hat{\mathbf{u}}, \mathbf{p}^*), \quad \forall \mathbf{p} \in C^*.$$
 (4.13)

Les inéquations variationnelles (4.12) et (4.13) montrent que $(a_1p^a) \in \mathbb{U}^a \times \mathbb{P}^a$ et que donc û f $\hat{\mathbb{U}}(p^a)$ implique û C \mathbb{U}^a . Les algorithmes de type Uzawa construisent alors des suits. $\{u^k\}$ convergeant vers \mathbb{U}^a (of. 2h. (1921)). Cependant ils ont l'inconvénient de transformer un problème primal éventuellement linéaire ou linéaire par morceuux en un programme non linéaire. Dans notre cas, cela espéchera l'utilisation du programme promoté l'entre préparant la niveau primal (cf. Maurres (1972)). On se tourne donc vers un nouvel algorithme préservant la nature linéaire du problème primal mais assurant malgré cela la convergence des solutions primales.

6 - Un nouvel algorithme de sous-gradient

Considérons le problème suivant :

$$\max_{\mathbf{p} \in \mathbf{P}} \Phi(\mathbf{p})$$
 (4.14)

P est un sous ensemble fermé convexe d'un espace de Hilbert P.

ψ est une fonction concave, sous-différentiable : ceci veut dire que

 $\Psi p, \exists \ \vartheta(p) \subset P^n \ \ tel \ que \ \ \forall r \in \vartheta \varphi(p) \ \ \ la propriété suivante est vérifiée :$

$$\phi(p*p!) \leq \phi(p) + \langle r, p! \rangle$$
, $\forall p! \in P$

(propriété transposée de la sous-différentiabilité des fonctions convexes).

- Rappelons ici la propriété classique :

Une condition nécessaire et suffisante pour que p^* soit solution de (4.14) est que :

$$p* \in P$$
 , $\mathbb{Z} q* \in \partial \phi(p*) : < 0, $\forall p \in P$. (4.15)$

Ronorous maintenant le lemme suivant, dont la preuve est fournie en annexe : <u>Lenne !</u> : L'enneable des paires (p^a,q^a) satisfainant (4.15) est de la forme $p^a \times Q^a$, ob $p^a \in Q^a$ sont deux sous-enneables convexes fermés, et la fonction : $(p,q) - q_p,q^a$ est constants sur $P^a \times Q^a$.

Nous proposons un algorithme qui permette d'atteindre l'un des quelconques des éléments (p^*,q^*) de $P^* \times Q^*$.

Considérons l'algorithme suivant : Algorithme 1

(i)
$$p^0 \in P$$
, $q^0 \in \partial \phi(p^0)$, $k = 0$.

(ii)
$$\forall k \in N \quad p^{k+1} = \Pi[p^k + \rho^k q^k]$$
 (4.16)

$$q^{k+1} = (1-\epsilon^{k+1})q^k + \epsilon^{k+1}r^{k+1}$$
(4.17)

avec
$$x^{k+1} \in \operatorname{ad}(n^{k+1})$$
 (4.17)

et où II désigne la projection sur P.

 $\{\rho^k\}$ et $\{\epsilon^k\}$ sont des suites réelles positives qui satisfont aux conditions de théorème suivant :

Théorème 1 :

Soit ϕ une fonction concave, semi-continue supérieurement, sousdifférentiable sur P et à sous-gradients bornés. Si le sous-ensemble convexe fermé de P de P n'est pas borné, on suppose que $\phi(p^k) - - \infty$ lorsque $\|p^k\|_1 \to \infty$, pour toute suite $\|p^k\|_1 \in P$.

De plus, si les hypothèses ci-dessous sont vérifiées :

(i)
$$\rho^k = \gamma \epsilon^k, \gamma > 0, \epsilon^k \in [0,1]$$

$$\sum_{k \in W} \varepsilon^{k} = + \infty \quad \sum_{k \in W} (\varepsilon^{k})^{2} < + \infty$$

(ii) La suite
$$\{\frac{(\underline{\epsilon}^k)^2}{k-1}\}$$
 est décroissante.

(iii) La série de terme général.

$$(\frac{\varepsilon^{k-1} - \varepsilon^k}{\varepsilon^k})^2$$
 est convergente.

alors la suite $\{(p^k,q^k)\}$ est bornée et tout point d'adhérence pour la topologie faible est une solution (p^s,q^*) de (4.15). Enfin, si ϕ est fortement concave (cf. Auslender (1976)), la suite $\{p^k\}$ converge fortement vers l'unique solution p^* .

La preuve de ce théorème est fournie en annexe.

Il semble possible d'éviter de faire l'hypothèse de sous-gradients bornés (mais celle-ci est vérifiée pour le problèse considéré dans cette thèse) et d'envisager pour p^k et z^k du choix moins restrictifs du type

 $\rho^k=\gamma^k\,\varepsilon^k$ avec des conditions sur la suite $\{\gamma^k\}$ telles que 0 < $\gamma_1\,\leqslant\,\gamma^k\,\leqslant\,\gamma_2$.

7 - Application de l'algorithme précédent à la recherche du point-selle

Revenons maintenant au problème de recherche d'un point-selle. du Lagrangien $L(u,p) = J(u) + c_p, \theta(u) > sur U \times P$ sous les hypothèses (H) définies au début du chapitre et rappelons les résultats suivants qui sont classiques :

Théorème 2 : Sous les hypothèses (E), le Lagrangien L possède un point-selle (u^*,p^*) sur U × P.

est concave et sous-différentiable, et le sous-différentiel $\ \partial \, \psi(p)$ de $\, \psi$ en un point $\, p \,$ vérifie

$$\partial \phi(p) = \overline{co} \theta[\widehat{U}(p)]$$
 (4.18)

où 🐯 représente la fermeture de l'enveloppe convexe.

Remarque: D'après (4.18), on s'aperçoit que ψ sera différentiable si $\hat{\mathbb{U}}(p)$ est un singleton, ou si θ applique $\hat{\mathbb{U}}(p)$ sur un point-unique.

A l'aide de (4.18) et des deux inégalités variationnelles caractérisant le point-selle (u*,p*) on obtient le résultat suivant :

Si l'on rapproche maintenant ce résultat de (4.15), on constate que la recherche d'un point-selle présente des liens étroits avec le problème traité à la section 6. Reprenons donc l'algorithme 1 en remplaçant dans (4.17) \mathbf{r}^{k+1} par $\theta(\mathbf{u}^{k+1})$, $\mathbf{u}^{k+1} \in \widehat{\mathbf{u}}(p^{k+1})$.

Avec cette modification on peut alors intégrer (4.16) et (4.17) dans le schéma de l'algorithme d'UEava (cf. Algorithme 1 du chapitre III) en lieu et place de (iii) au deuxième niveau, sans toucher à l'étape de minimisation du premier niveau (ii) qui fournit u^k.

Le lemme 2 nous assure d'autre part que tout point d'adhérence de la suite $\{q^k\}$ appartient à $\overline{\infty}[\theta(\widehat{u}[y^*])]$ et satisfait à l'inéquation variationnelle (4.15), associé à un $p^* \in \mathbb{P}^*$.

Enfin, s'il existe $\overline{u} \in \widehat{\mathbb{U}}(p^*)$ tel que $q^* = \theta(\overline{u})$, alors (\overline{u},p^*) est un point-selle car il vérifie (4.19) (inégalité de gauche du point-selle) et évidemment l'inégalité de droite par définition de \overline{u} .

Le point non résolu et l'existence d'une représentation de q* sous la forme $\theta(W)$ avec $\overline{u} \in \overline{U}(p^*)$. Four tourner estre difficulté, on propose une adaptation de l'algorithme : aux problèmes de point-selle :

Algorithme 2 :

(i)
$$p^0 \in P$$
, $v^0 \in \widehat{U}(p^0)$, $q^0 = \theta(v^0)$, $k = 0$

(ii)
$$\forall k \in \mathbb{N}$$
 $p^{k+1} = \mathbb{I}[p^k + \rho^k q^k]$

$$q^{k+1} = (1-\epsilon^{k+1}) q^k + \epsilon^{k+1} \theta(u^{k+1})$$
 (4.20)

avec $u^{k+1} \in \hat{v}(p^{k+1})$.

(u*,p*) de L sur U × P.

$$v^{k+1} = (1-e^{k+1})v^k + e^{k+1}u^{k+1}$$
 (4.21)

Remarque: v^k est une combination convexe de toutes les solutions obtenues au premier niveau de l'algorithme, au cours des itérations successives. Cette combination convexe est récursive. On rapprochera cette observation de ce qui se passe dans l'algorithme décrit à la section 5 où la solution u^* est également obtenue comme limite de combinations convexes de solutions du premier niveau, mais où les combinations convexes ne sont pas obtenues récursivement (il faut à chanue fois résoudre un programme linéaire de taille croissante pour obtenir les "poids").

Théorème 3: Sous les hypothèses (H) et sous les hypothèses du théorème 1 concernant ρ^k et ε^k , la suite $\{(v^k, p^k)\}$ est bornée et tout point 4 abhérence pour la topologie faible est un point-selle

Algorithme 3 :

(i)
$$p^{0} \in P$$
, $v^{0} \in \hat{U}(p^{0})$, $q^{0} = \theta(v^{0})$, $k = 0$

(ii)
$$\forall k \in \mathbb{N}$$
 $p^{k+1} = \mathbb{I}[p^k + p^k \theta(v^k)]$ (4.22)

$$v^{k+1} = (1-\varepsilon^{k+1})v^k + \varepsilon^{k+1}u^{k+1}$$
 (4.23)

avec
$$u^{k+1} \in \hat{\mathbb{I}}(p^{k+1})$$
.

Ces deux algorithmes coîncident de manibre évidente lorsque la fonction θ est affine. Quand θ est convexe sans être affine, nous émettons la conjecture que le théroème 3 reste valable pour l'algorithme 3, sans toutefois avoir pu démontrer cette conjecture.

Application au problème EDF

Nous présentons dans ce chapitre un algorithme de résolution du problème posé par EDF (cf.chapitre I et II). Cet algorithme est une combinaison de l'algorithme 2 du chapitre III et de l'algorithme 1 proposé au chapitre IV. Il résoud le problème de la non-unicité de la solution primale à chaque étape au niveau de la minimisation, tout en conservant l'originalité de l'algorithme 2 du chapitre III qui consiste à éviter le calcul de projection sur autre chose que le cône positif.

Nous reprenous ici les notations spécifiques du problème EDF. Sans décrire à nouveau en détail toutes ces notations (cf. II), rappelons simplement que le coût minimus s'exprime de la mantère suivante (cf. (2.6)):

$$\mathbf{e}_{\mathbf{p}} \mathbf{q}_{\mathbf{p}}^{\mathsf{V}} + \min_{\mathbf{q}(\omega)} \max_{\mathbf{p}(\omega)} \{ \frac{\mathbf{N}_{\mathbf{q}}}{\mathbf{p}^{\mathsf{U}}} \mathbf{q}_{\mathbf{q}}^{\mathsf{U}} (\mathbf{e}_{\mathbf{p}} \mathbf{q}_{\mathbf{p}}(\omega) - \mathbf{e}_{\mathbf{p}} \mathbf{q}_{\mathbf{p}}(\omega)) + \mathbf{e}_{\mathbf{q}} (|\mathbf{q}_{\mathbf{q}}(\omega)| \times \mathbf{p}(\omega))]$$

$$- \mathbf{e}_{\mathbf{q}} [\mathbf{q}_{\mathbf{p}}^{\mathsf{V}} (\mathbf{1} - \mathbf{p}(\omega_{\mathbf{q}}))] \}$$
(5.1)

sous les contraintes :

$$Aq(\omega) = 0$$

$$0 < q_{\underline{q}}(\omega) < \zeta_{\underline{q}}$$

$$0 < q_{\underline{p}}(\omega) < \zeta_{\underline{p}}(\omega)$$

$$|q_{\underline{t}}(\omega)| < \zeta_{\underline{t}}.$$
(5.2)

soit k l'indice de l'itération. L'algorithme se déroule ainsi :

Initialisation

Pour k = 0, il faut se donner une valeur initiale des paramètres duaux :

$$\{p_{t}^{0}(\omega)\}\ t\in T$$
 ; $\omega=0,\ldots,N$

N étant le nombre d'aléas considérés dans le calcul de l'approximation de l'espérance mathématique. Nous avons choisi pour notre part de prendre 1 pour valeur du poids . mis sur l'aléa fictif (ω_0) qui représente l'investissement existant ; ceci reviendrait, dans le cadre d'une approche primale, à initialiser les capacités des lignes du réseau à la capacité existante. On nose donc :

$$p_{t}^{0}(0) = 1$$
; $p_{t}^{0}(\omega) = 0$ $w = 1, ..., N$ (5.3)

2 - Résolution du problème de minimisation à l'itération k.

Cette phase constitue le premier niveau de l'algorithme. Elle est identique pour tous les algorithmes considérés dans cette étude.

Pour $\omega=1,\ldots,N$ on résoud donc les problèmes de minimisation suivante:

$$\underset{\sigma(\omega)}{\text{Min}} \frac{f_1^1}{f_N} \left[\sum_{p} c_p(\omega) q_p(\omega) - \sum_{d} c_d q_d(\omega) \right] + \sum_{t} c_t |q_t(\omega)| p_t^k(\omega) \}$$
(54)

sous les contraintes (5.2).

Cette résolution se fait au moyen d'un programme linéaire de flot à coût minisum mis au point à l'EDF par Maurras, (c'est ce programme particullèrement performant, FLOMAX, qui nous a fait rejeter des solutions détruisant la linéarité de (5.4) - cf. chapitre Ur, section 4 et 5).

Remarque 1. Pour utiliser ce programme on pose classiquement: $|q_{t}(\omega)| = q_{t}^{+}(\omega) + q_{t}^{-}(\omega) \quad \text{afin de linéariser la fonctionnelle à minimiser.}$ On rappelle que

$$q_{\pm}^{+}(\omega) = \text{Max}(0, q_{\pm}(\omega)) \text{ et } q_{\pm}^{-}(\omega) = [-q_{\pm}(\omega)]^{+}.$$

Remarque 2. Dans l'approche simplifiée considérée par Dodu, on ne prend en compte que le coît de défaillance ; en effet, après avoir classé les groupes de production disponibles (déterminés par tirage aléatoire) dans l'ordre des coûts croissants de production, on ne retient que les premiers de la liste ainsi ordonnée, de telle sorte, que ha somme de leurs capacités satisfanse au plus juste la demande totale sur le réseau. Dans ce cas on pose $c_p(\omega) = 0$ dans les formules ci-dessus, et l'on modifie le vecteur $\frac{d}{dp}(\omega)$ en conséquence, en donnant la valeur 0 aux coordonnées correspondant à des groupes qui, bien que disponibles, ont été écartés par la sélection ainsi opérée.

3- Calcul du coût dual et du coût primal.

a) Le coût dual (correspondant à la fonction ψ du chapitre IV) qu'il nous faut maximiser, et qui inférieur ou égal à la valeur $\psi(p^*)$ du point-selle, est évalué de la manière suivante :

$$\phi(p^{k}) = \sum_{\omega=1}^{N} \left\{ \frac{1}{N} \sum_{p} \mathbf{c}_{p} \mathbf{q}_{p}(\omega) + \sum_{d} \mathbf{c}_{d} (\mathbf{q}_{d}^{k} - \mathbf{q}_{d}^{k}(\omega)) \right\} + \sum_{\mathbf{t}} \left\{ \mathbf{c}_{\mathbf{t}} \mathbf{q}_{\mathbf{t}}^{k}(\omega) | \mathbf{r}_{\mathbf{t}}^{k}(\omega) \right\}$$

$$- \sum_{p} \left\{ \mathbf{q}_{\mathbf{t}}^{k}(\mathbf{1} - \mathbf{r}_{\mathbf{t}}^{k}(0)) \right\}$$
(5.5)

b) Pour k > 0 aller en c)

Pour
$$k=0$$
, on pose $z_{t}^{0}(\omega)=\left|q_{t}^{0}(\omega)\right|$ pour $\omega=0$, ..., N et t f T

et
$$a_{t}^{O} = \sum_{m=0}^{\infty} p_{t}^{O}(\omega) |q_{t}^{O}(\omega)|$$
 t $\in T$

Puis aller en d)

Remarque 3 : On rappelle que, $\forall k \in \mathbb{N}$, $q_{\pm}^k(0) = q_{\pm}^{V_0}$ par convention.

c) Pour k > 0 on calcule

$$\mathbf{z}_{\mathbf{t}}^{k}(\omega) = (\mathbf{1} - \boldsymbol{\varepsilon}^{k})\mathbf{z}_{\mathbf{t}}^{k-1} (\omega) + \boldsymbol{\varepsilon}^{k} |q_{\mathbf{t}}^{k}(\omega)| \tag{5.6}$$

$$\mathbf{a}_{\mathbf{t}}^{k} = (1-\epsilon^{k}) \mathbf{a}_{\mathbf{t}}^{k-1} + \epsilon^{k} \sum_{i=0}^{N} \mathbf{p}_{\mathbf{t}}^{k}(\omega) | \mathbf{q}_{\mathbf{t}}^{k}(\omega) |.$$
 (5.7)

d) Le coût primal, ϕ^k , supérieur ou égal à la valeur du point-selle, est évalué à l'itération k de la manière suivante :

$$\varphi^{k} = \frac{1}{N} \sum_{\omega=1}^{N} \left[\sum_{p} c_{p} q_{p}^{k}(\omega) + \sum_{d} c_{d} (\vec{q}_{d} - q_{d}^{k}(\omega)) \right] + \sum_{t} c_{t} (y_{t}^{k} - \vec{q}_{t}^{k})$$
(5.8)

οù

$$y_t^k = \underset{\omega=0,N}{\text{Max}} z_t^k(\omega) \quad \text{pour } t \in T$$
 (5.9)

4. Remise à jour des paramètres duaux

On calcule :

$$\Pi_{t}^{k+1} = \text{Max}\{0, \ p_{t}^{k}(\omega) + \rho^{k} e_{t}[z_{t}^{k}(\omega) - a_{t}^{k}]\}$$
 (5.10)

$$p_{\mathbf{t}}^{k+1}(\omega) = \frac{\prod_{k=1}^{k+1}(\omega)}{\prod_{\omega=0}^{k+1} \prod_{k=1}^{k+1}(\omega)} \text{ arec } \omega = 0, \dots, N \text{ et } \mathbf{t} \in T$$
 (5.11)

5. Test d'arrêt

a) Ce test porte normalement sur l'écart entre le coût dual $\phi(p^k)$ et le coût primal ϕ^k , c'est à dire sur la quantité suivante :

$$\Delta^{k} = \sum_{t} \left[y_{t}^{k} - \sum_{\omega=0}^{N} p_{t}^{k}(\omega) | q_{t}^{k}(\omega)| \right]$$
 (5.12)

qui tend vers O lorsque l'on se rapproche de l'optimum.

b) Si le test d'arrêt n'est pas satisfait, faire k + k+1 et retourner en 2.

6. Remarques et Commentaires.

- a) Le schéma (5.10)-(5.11) est la transposition immédiate du schéma (iii)
- (3.10)-(3.11) de l'algorithme 2 du chapitre III.
 b) Cependant, l'élément du sous-gradient de la fonctionnelle quasi-concave

$$\phi(p)/ \langle p,1 \rangle$$
 au point $(|q_t^k(\omega) - \sum_{\omega=0}^N p_t^k(\omega)|q_t^k(\omega)|) t \in T$

est remplacé par un terme résultant du "moyennage" des sous-gradients (cf. (5,6), (5,7) et (5,10)), comme pour le passage de l'algorithme de sous-gradient simple à l'algorithme de sous gradient moyenné ((4,16),(4,17)). L'algorithme proposé consiste donc bien en une combinaison des algorithmes 2 de III et 1 de IV.

c) Four appliquer 1'algorithme 2 de IV, il faudrait en toute rigueur faire les moyennes des $\mathbf{q}^k(\omega)$ (cf(4.21)) dont on se servirait d'une part pour évaluer le coût primal \mathbf{p}^k (puisque $\mathbf{q}^k(\omega)$ tend vers \mathbf{q}^* d'aurès le théorème 3), et d'autre part pour évaluer les capacités optimales des lignes t \in 7 de transport électrique : $\overline{\mathbf{q}}_k^k(\omega)$ représentant la moyenne (au sens de (4.21)) des $\mathbf{q}_k^1(\omega)$ pour $1 < k_k$ le calcul de la limite quand k tend vers $+ \infty$ de $\max |\overline{\mathbf{q}}_k^k(\omega)|$ donnerait les valeurs de ces capacités optimales.

La mise en oeuvre de cette procédure nécessiterait une taille mémoire considérable sur ordinateur. Mais :

- d) D'une part, $q_t^k(\omega)$ ne change plus de signe après quelques itérations, et il revient donc au nême d'utiliser dans l'algorithme $z_t^k(\omega)$ (cf. (5.6)) au lieu de $\left|q_t^k(\omega)\right|$.
- e) D'autre part, il semble que la non-unicité porte sur les variables $q_{\chi}(\omega)$ (relatives à l'acheminement de la puissance électrique) et non sur les variables $q_{\chi}(\omega)$ et $q_{\bar{q}}(\omega)$ (représentant la façon de produire la missance électrique et de satisfaire la demande); on a donc confondu $\overline{q}_{p}^{\kappa}(\omega)$ (respectivement $\overline{q}_{q}^{\kappa}(\omega)$) avec la dernière valeur obtenue au cours des itérations, $q_{p}^{\kappa}(\omega)$ (respectivement $q_{q}^{\kappa}(\omega)$) dans le calcul du coût primal φ^{κ} . A ces heuristiques pròs, l'algorithme utilisé est alors l'algorithme : 2 du chapitre IV (combiné à l'algorithme 2 du chapitre IV) (combiné à l'algorithme 2 du chapitre IV)
- f) L'algorithme 3 consisterait à faire les moyennes des $q^{k}(\omega)$ comme en (4.21) pour obtenir $\overline{q}_{t}^{k}(\omega)$, puis à utiliser l'expression :

$$\left|\overline{q_t^k}(\omega)\right| = \sum_{\omega=0}^N p_t^k(\omega) \left|\overline{q}_t(\omega)\right| \text{ à la place de } z_t^k(\omega) = a_t^k \text{ dans la formule } (5.10).$$

Si, comme observé en d), les termes $a_k^k(\omega)$ et $|\overline{q}_k^k(\omega)|$ vont par contre a_k^k donné par (5.7) et \overline{c} \overline

g) Si l'on n'accepte pas les considérations heuristiques des alinéas d) et e),
l'algorithme décrit ci-dessus est l'algorithme 1 du chapitre IV (combiné avec
l'algorithme 2 du chapitre III). On a vu que cet algorithme appliqué au
problème du point-selle fournit un couple (p*,q*) vérifiant (4.15).

Cependant, si q* n'est pas de la forme $\theta(\overline{u})$ pour $\overline{u} \in \theta[\widehat{u}(p^*)]$ on ne pert pas tirer de conslusion sur l'appartenance de \overline{u} à \overline{u}^* . Ici, on souhaite pouvoir calculer des expressions du type

$$\mathbf{y}^{*} = \max_{\mathbf{i}} \; \boldsymbol{\theta}_{\underline{i}} \left(\mathbf{u}^{*}\right) = \sum_{\mathbf{i}} \boldsymbol{\theta}_{\underline{i}} \left(\mathbf{u}^{*}\right) \; \; \text{pour} \; \; \mathbf{u}^{*} \in \mathbf{U}^{*} \quad \text{et} \quad \mathbf{p}^{*} \in \mathbf{P}^{*},$$

Corollaire

Tout point d'adhérence (p^*,q^*) de la suite construite par l'algorithme 1 du chapitre IV est tel que :

<u>Prouve</u>: On a vu que (p^*, q^*) $\in P^* \times Q^*$ (solution de (4.15)) et que la fenctionnelle $(p,q) - q_p, q^*$ est constante sur cet ensemble (Lemme 1, chapitre IV). Comme, $\forall u^*, \in U^*$, on a sussi $(p^*, \theta(u^*)) \in P^* \times Q^*$, le résultat est immédia \underline{u} .

S*agissant du cas C de dimension finie et $P = \Sigma$ (cf(3.3-1)) cela prouve (avec (4.15)) que

$$\max_{i} \theta_{i}(u^{*}) = \sum_{i} p_{i}^{*}\theta_{i}(u^{*}) = \sum_{i} p_{i}^{*}q_{i}^{*} = \max_{i} q_{i}^{*}$$

On pourrait de plus prouver que

$$\forall i, \; \theta_i(u^\star) < q_i^\star$$

et que $p_i^* > 0$ entraîne que $\theta_i(u^*) = q_i^*$.

Ces rezarques justifient de toute façon l'évaluation des investissements optimaux dans notre problème par la limite des expressions (5.9).

Résultats Numériques

1. Exemple 1.

Nous avons appliqué l'algorithme 2 du chapitre IV à un exemple test tiré de l'ouvrage de Lemaréchal et Mifflin (1978).

La fonctionnelle à minimiser est définie ainsi :

k = {1,...,5} i,j {{1,...,10}

$$a_{L}(i,j) = e^{\frac{i}{4}} \cos(i \cdot j) \sin(k) \quad i \neq j$$

$$\begin{aligned} &\mathbf{a}_{\mathbf{k}}(\mathbf{j},\mathbf{i}) = \mathbf{a}_{\mathbf{k}}(\mathbf{i},\mathbf{j}) \\ &\mathbf{a}_{\mathbf{k}}(\mathbf{i},\mathbf{i}) = \sin(\mathbf{k}) \mathbf{k} \cdot \frac{\mathbf{i}}{10} + \sum_{i=1}^{10} \mathbf{a}_{\mathbf{k}}(\mathbf{i},\mathbf{j}) \end{aligned}$$

$$b_{\cdot}(i) = e^{\frac{i}{h}} \times \sin(i \cdot k)$$

On cherche à minimiser $\max_{k=1,5} \sum_{i=1,10} \{ [\sum_{j=1,10} a_k(i,j)x_j] x_i - b_k(i)x_i \}$

Le meilleur résultat sur cet exemple a été obtenu avec

$$\varepsilon^{n} = \frac{1}{\left[\left(1+0,25(n-1)\right]}; \; \rho^{n} = 0,80, \varepsilon^{n} \times (\sum_{l=1}^{n} \varepsilon^{l})^{1/2} / \sqrt{1+5/|g^{n}-g^{+}|}$$

0,80 × $(\sum_{i=1}^{n} \epsilon^{1})^{1/2}$ est un terme qui permet à ρ^{n} de décroitre beaucoup

moins vite que e^n dans les premières itérations. Le facteur $1/\sqrt{1+5/R^2-e^2}$ perset d'accélérer la décroissance de ρ^n sa valeur e^n parvient au voisinage de e^n .

g est la valeur courante de la fonctionnelle et g* sa valeur optimale (supposée connue.)

le vecteur courant, et x* le vecteur solution.

Bn plus de la courbe i on peut également donner le tableau suivant, où q désigne le vecteur des sous-gradients moyennés courant (voir (4.20)), x désigne

Iterations	б	x-x*	4
1	533,7	3,163	1
50	-0,62	0,052	0,0051
100	-0,8274	0,017	0,06
200	-0,8362	0,0078	0,03
300	-0,8408	0,0054	0,013
400	-0,8411	0,0042	0,0055
500	-0,8412	0,0031	0,013

2. Exemple 2

On a fait tourner l'algorithme du chapitre V sur un mini réseau (3 arcs, 5 neeuds) avec 10 groupes de production. Toutes les données ont été tirées de celles du réseau EDF : les 3 premières valeurs pour tout ce qui concerne les arcs et les noeuds, le 10 premières valeurs pour lesgroupes de production. Nous avons également considéré 500 aléas.

Si P désigne le coût primal et D le coût dual, le rapport $\frac{P_-D}{P_-D}$ est inférieur à 10 $^{\circ}$ /o en 90 itérations et inférieur à 4 $^{\circ}$ /o en 150 itérations.

$$\rho^{n} = \frac{0.15 \times 10^{-6}}{1+0.08 \text{ (n-1)}}$$
 $\epsilon^{n} = \frac{1}{1+0.5(\text{n-1})}$

Valeur maximale du coût dual 0,227 10⁶ obtenue après 150 itérations.

3. Exemple 3

On a appliqué le même algorithme à ce mini réseau avec ϵ^n = 1 Yn $\mbox{ et } \rho^n = \frac{0.7 \left|D-D^*\right|}{\epsilon}$.

D* est la valeur estimée du coût optimal (valeur du point-selle). Gn est la morme du vecteur du sous-gradient intervenant dans l'algorithme.

Il s'agit alors d'un algorithme de sous-gradient avec le choix de pn proposé par Polyak (1978). La valeur 0,7 s'est avérée la meilleure valeur parmi celles essayées pour k qui doit être comprise entre 0 et 2. Comme en reste constant le coût primal reste divergent. Le coût dual ne converge pas plus vite vers l'optimum que précédemment :

> 0.215×10⁶ en 150 itérations 0.224 × 10⁶ en 300 itérations.

4. Exemple 4.

La taille du réseau EDF ne nous a pas permis d'obtenir plus de 50 à 60 itérations pour l'algorithme du chapitre V.

Dans le cas présenté ici, $\rho^n = 0.15 \cdot 10^{-6}$ Vn.

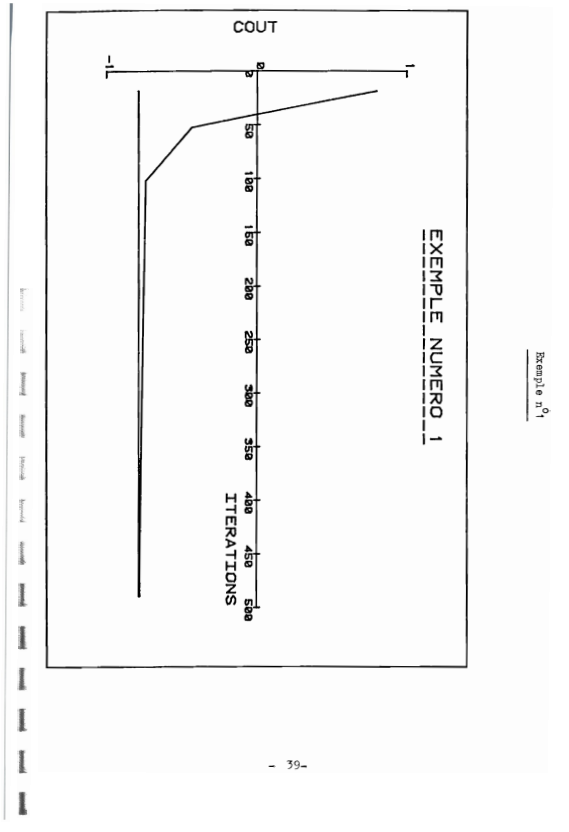
et
$$\epsilon^n = \underline{15}$$
 pour $n > 1$.

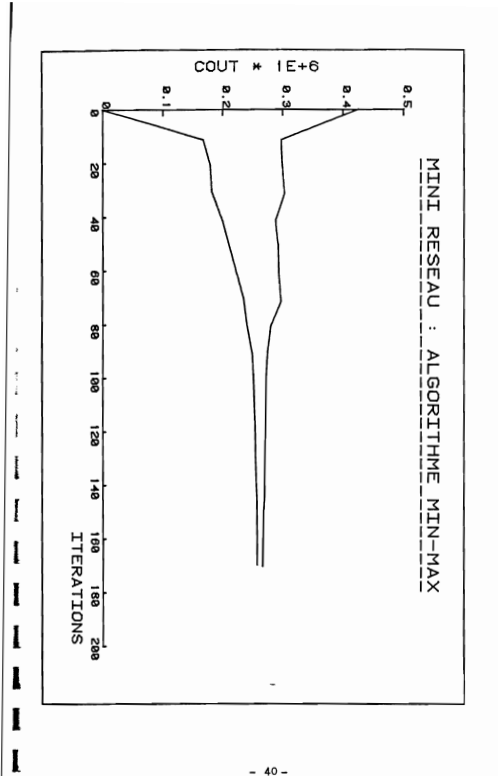
Valeur maximale obtenue pour le coût dual 0.12 107 Valeur minimale obtenue par le coût primal 0,28 107.

Use estimation du coût optimal calculé pour la solution fournie par EDF sur les mêmes situations aléatoires donnant une valeur de l'ordre de 0.2.107. il apparait que la convergence de cet algorithme pour ce problème est au moins aussi lente que pour le petit réseau test de l'exemple 2 : 150 à 200 itérations, chaque itération comportant 500 calculs de FLOMAX.

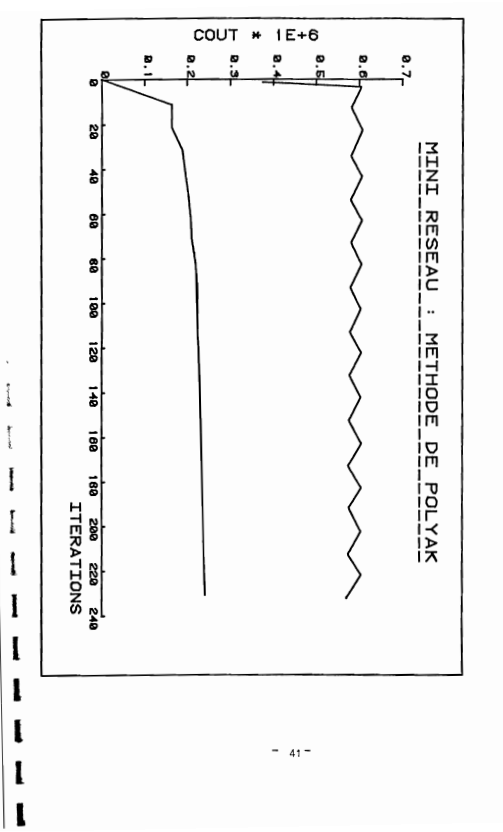
Conclusions.

Il serait souhaitable que d'autres expériences numériques permettent de mieux évaluer la qualité des algorithmes présentés au chapitre IV. Sur les exemples 2 et 3 notamment, on a vu que leur comportement se compare assez favorablement à celui d'autres algorithmes plus connus (Polyak) mais qui ne donnent pas le résultat escompté dans un problème de pointselle. L'échec obtenu sur le problème EDF en vraie grandeur semble plus dû au mauvais conditionnement de l'approche duale pour ce problème qu'à la qualité intrinsèque des algorithmes utilisés.

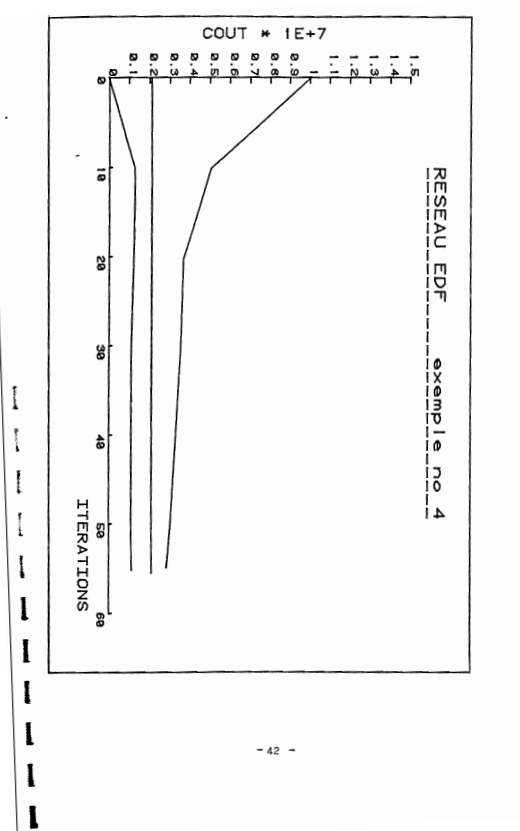




Exemple nº 2



Exemple no 3



Exemple nº 4

1. PREUVE du LESCHE 1

Soit
$$(p_1^*, q_1^*)$$
 et (p_2^*, q_2^*) satisfaisant (4.15)
Alors $q_1^* \in \phi(p_1^*)$
 $q_1^* \in \phi(p_2^*)$

$$\Rightarrow \langle q_1^*, q_2^*, p_1^*, p_2^* \rangle < 0.$$

φ concave

De plus, d'après (4.15)

$$\langle q_1^*, p_2^* - p_1^* \rangle \le 0$$
 (2)

(1)

$$\langle q_{2}^{*}, p_{1}^{*}-p_{2}^{*} \rangle \leq 0$$
. (3)

Par (1), (2), (3)

0 < <q*,p*-p*> < <q*,p*-p*> < 0.

$$D^{\dagger}o\dot{u} < q_{1}^{*}, p_{1}^{*} > = \langle q_{2}^{*}, p_{2}^{*} \rangle = \langle q_{1}^{*}, p_{2}^{*} \rangle = \langle q_{2}^{*}, p_{1}^{*} \rangle,$$
 (4)

Alors, d'après (4.15)

d'où, d'après (4) ci-dessus

$$\langle q_1^*, p_{-}p_2^* \rangle < 0$$
 , $\forall p \in P$. (5)

De plus, puisque $q_1^* \in \partial \phi(p_1^*)$,

$$\phi(p) = \phi(p_1^*) \le \langle q_1^*, p - p_1^* \rangle = \langle q_1^*, p - p_2^* \rangle$$
, $\forall p$ (6)

la dernière égalité d'après (4) ci-dessus. Par ailleurs, on a par hypothèse

$$\phi(p_1^*) = \phi(p_2^*) = \max_{p \in P} \phi(p).$$
 (7)

De (6) et (7) on déduit que $q_1^* \in \partial \phi(p_2^*)$, ce qui montre avec (5) que la paire (p_2^*, q_1^*) satisfait (4.15). Il en va évidemment de même pour la paire (p_1^*, q_2^*) .

On a done montré que si (p_1^*, q_1^*) et (p_2^*, q_2^*) sont solutions de (4.15), it en est de même pour (p_2^*, q_1^*) et (p_1^*, q_2^*) , e^* est-à-dire que l'ensemble des solutions est de la forme $P^* \times Q^*$. De plus (4) montre que la fonctionnelle $(p_1, q_1^*) \mapsto (p_1, q_2^*)$ est constante sur ce sous-ensemble.

Montrons maintenant que P* × Q* est un convexe fermé.

Soit $\overline{p} = \alpha p_1^* + (1-\alpha)p_2^*$, $\alpha \in [0,1]$.

Alors $\phi(p) = \max \phi(p)$ $d^*après$ (7) et la moncavité de ϕ . Donc $p \in P^*$, et $p \in P$ $d^*après$ ce qui préoble (p,q^*) et (p,q^*) appartiennent aussi à $P^* \times Q^*$ donc $q^* \in \partial \phi(p)$ et $q^* \in \partial \phi(p)$. Par convexité du sous-différentiel on a que

$$\overline{q} = \alpha q_1^* + (1-\alpha)q_2^* \in \partial \psi(\overline{p}).$$

Par ailleurs

$$\begin{array}{ll} \psi_p \in \mathbb{P}, & & & & & & & & \\ & & & & & & & \\ & & & & & & \\ & & & & & & \\ & & & & & \\ & & & & & \\ & & & & & \\ & & & & \\ & & & & \\ & & & & \\ & & & & \\ & & & \\ & & & \\ & & & \\ & & & \\ & & & \\ & & & \\ & & & \\ & & & \\ & & \\ & & \\ & & \\ & & \\ & & \\ & & \\ & & \\ & & \\ & & \\ & & \\ & & \\ & & \\ & & \\ & & \\ & & \\ & \\ & & \\$$

Ceci montre $(\overline{p},\overline{q})\in P^*\times Q^*$, c'est à dire que ce sous-ensemble est convexe. Montrons qu'il est fermé.

Comme P* est exactement égal à l'ensemble $\{p^+|\phi(p^+)=\max_{p\in P}\phi(p)\}$, cet ensemble est fermé en supposant ϕ s.c.s.. Soit $\{q_k\}$ une suite dans Q convergente vers \overline{q} . Alors, $\overline{Y}p^*\in P^*$

et par passage à la limite on a la même inéquation variationnelle pour \overline{q} . D'autre part, $q^{k} \in \partial \phi(p^{n})$, et comme le sous-différentiel est fermé, $\overline{q} \in \partial \phi(p^{n})$. Donc $\overline{q} \in \mathbb{Q}^{n}$, $\partial \phi(p^{n})$. Donc $\overline{q} \in \mathbb{Q}^{n}$, $\partial \phi(p^{n})$.

2. PREUVE du THEOREME 1.

2.1. Supposons d'abord que l'Alporithme 1 (4.16)-(4.17) devienne stationnaire $(p^{k+1}=p^k,q^{k+1}=k^k)$ au bout d'un nombre fini de pas et montrons que le point stationnaire (notors $l=(p,\pi)$) est un point de P* x C En effet, d'agrès (4.16)-(4.17), on a

$$\forall p \in P, \langle p_{-p_{k+1}}, \gamma \epsilon_{k} q_{k} + p_{k} - p_{k+1} \rangle \leq 0.$$
 (8)

$$\mathbf{r}_{k+1} = (\mathbf{q}_{k+1} - \mathbf{q}_k)/\epsilon_{k+1} + \mathbf{q}_k \in \delta\phi(\mathbf{p}_{k+1}),$$

et donc

$$\forall p \in P, \langle \overline{q}, p-\overline{p} \rangle \leq 0$$

avec $\overline{q} \in \partial \phi(\overline{p})$.

et donc $(\overline{p}, \overline{q}) \in P^* \times Q^*$.

2.2. On considère l'expression suivante

$$\Phi_{k} = \phi(p_{k}) - \frac{1}{2\gamma} \|p_{k+1} - p^{*}\|^{2} - \frac{1}{2\gamma} \|(p_{k+1} - p_{k})/\epsilon_{k}\|^{2} - \langle q_{k}, p_{k+1} - p^{*} \rangle.$$
(9)

D'après (8) ci-dessus

$$- \langle q_{k}, p_{k+1} - p* \rangle \leqslant - \frac{1}{\gamma \epsilon_{k}} \langle p_{k+1} - p*, p_{k+1} - p_{k} \rangle$$

D'où

$$\Phi_{\mathbf{k}} \leq \phi(\mathbf{p}_{\mathbf{k}}) - \frac{1}{2\gamma} \|\mathbf{p}_{\mathbf{k}+1} - \mathbf{p}^* + (\mathbf{p}_{\mathbf{k}+1} - \mathbf{p}_{\mathbf{k}}) / \epsilon_{\mathbf{k}} \|^2$$

$$< \phi(\mathbf{p}_{\mathbf{k}}) \leq \phi(\mathbf{p}^*). \tag{10}$$

2.3. Etudions la variation $\Phi_{k+1} - \Phi_k$. On va étudier séparément la variation des quatre termes de (9) ci-dessus.

a)
$$\phi(p_k) - \phi(p_{k+1}) < \langle r_{k+1}, p_k - p_{k+1} \rangle$$
 (11)

. d'après la définition du sous-différentiel d'une fonction concave.

b)
$$\frac{1}{2\gamma} \|\mathbf{p}_{k+2} - \mathbf{p}^*\|^2 \le \frac{1}{2\gamma} \|\mathbf{p}_{k+1} - \mathbf{p}^* + \gamma \epsilon_{k+1} \mathbf{q}_{k+1} \|^2$$

d'après (4.16) et le fait que la projection est contractante.

 $\frac{1}{2\pi} \| p_{p,2} - p^* \|^2 < \frac{1}{2\pi} \| p_{p,2} - p^* \|^2 + \frac{\gamma \epsilon_{k+1}^2}{2} \|^2 + \epsilon_{p,2} \langle q_{p,2}, p_{p,2} - p^* \rangle$ (12)

où on a utilisé le fait que $\|q_{k+1}\| \le M$ qui se déduit aisément de l'hypothèse $\|r_{\nu_k}\| \le H$, Yk.

c)
$$\frac{1}{2\gamma} \|(\mathbf{p}_{k+2} - \mathbf{p}_{k+1})/\epsilon_{k+1}\|^2 < \frac{1}{2\gamma\epsilon_{k+1}^2} \|\mathbf{p}_{k+1} - \mathbf{p}_k + \gamma(\epsilon_{k+1} \mathbf{q}_{k+1} - \epsilon_k \mathbf{q}_k)\|^2$$

(d'après (4.16) et le fait que la projection est contractante).

En utilisant (4.17), on a '
$$\frac{1}{2\gamma} \|(s_{k+2} - s_{k+1})/s_{k+1}\|^2 \le \frac{1}{2\gamma} c_{k+1}^2 \|s_{k+1} - s_k + \gamma c_{k+1}^2 s_{k+1} + \gamma (s_{k+1}(1 - c_{k+1}) - c_k) c_k\|^2$$

$$= \frac{1}{2\gamma} (\frac{1}{4c_{k+1}} - \frac{1}{4c_k}) \|s_{k+1} - s_k\|^2 + \frac{1}{2\gamma} \|(s_{k+1} - s_k)/s_k\|^2 + \frac{1}{2\gamma} \|s_{k+1} - s_k|^2 s_k\|^2$$

+
$$\frac{y}{2\varepsilon^2}$$
 $\parallel \varepsilon_{k+1}^2 r_{k+1} + (\varepsilon_{k+1}(1-\varepsilon_{k+1}) - \varepsilon_k)q_k \parallel^2 +$

$$c_{k+1} p_{k+1} p_{k} + \frac{(c_{k+1}(1-c_{k+1})-c_k)}{c^2} c_{k} p_{k+1} p_{k}$$

$$c_{k+1} p_{k+1} p_{k} + \frac{(c_{k+1}(1-c_{k+1})-c_k)}{c^2} c_{k} p_{k} + \frac{(c_{k+1}(1-c_{k+1})-c_k)}{c^2}$$

D'après (8) ci-dessus on a

$$\langle q_{k}^{-1} p_{k+1}^{-1} p_{k}^{-1} \rangle > \frac{1}{\gamma \epsilon_{k}} \| p_{k+1}^{-1} p_{k}^{-1} \|^{2}.$$
 (14)

Par ailleurs

$$\frac{c_{k+1}(1-c_{k+1})-c_k}{c_{k+1}^2} := \frac{c_{k+1}-c_k}{c_{k+1}^2} - 1$$

et $\epsilon_{\underline{k}+1} - \epsilon_{\underline{k}} < 0$ si la suite $\{\epsilon_{\underline{k}}\}$ est non croissante. Alors pour le dernier terme de (13) on a

$$\frac{(\varepsilon_{k+1}(1-\varepsilon_{k+1})-\varepsilon_k)-\varepsilon_k}{\varepsilon_{k+1}^2} \triangleleft_{q_k} p_{k+1}^2 - p_k^2 \leq - \triangleleft_{q_k} p_{k+1}^2 - p_k^2 + \frac{\varepsilon_{k+1}-\varepsilon_k}{\gamma \varepsilon_k \varepsilon_{k+1}^2} \| p_{k+1} - p_k \|^2$$
In considerant maintenant la somme du premier et du dernier terme dans le

second membre de (13), elle est majorée par $= \langle q_k, p_{k+1} - p_k \rangle = \frac{1}{2\gamma} (\frac{e_k - f_{k+1}}{e_k e_k})^2 \|p_{k+1} - p_k\|^2 \leq - \langle q_k, p_{k+1} - p_k \rangle$.

Finalement, de (13) et des considérations ci-dessus, on déduit

$$\frac{1}{2\gamma} \stackrel{\text{\tiny pr}}{}_{-\kappa+2^{-}\kappa+1}), \stackrel{\text{\tiny pr}}{}_{-\kappa+1} \stackrel{\text{\tiny pr}}{}_{-\kappa} = \frac{1}{-\gamma} \cdot \left(\frac{1}{(\kappa+1^{-})^{-}\kappa} + \frac{\kappa^{2}}{2} + \frac{\kappa^{2}}{2} \frac{1}{2\kappa} + \frac{\kappa^{2}}{2} \frac{1}{\kappa} + \frac{\kappa^{2}}{2} \frac{1}{\kappa} + \frac{\kappa^{2}}{2} \frac{1}{\kappa} \right)$$

$$+ \langle r_{k+1}, p_{k+1} - p_k \rangle - \langle q_k, p_{k+1} - p_k \rangle.$$
 (15)

$$\langle q_{k+1}, p_{k+1} - p_{k+2} \rangle + \langle q_{k} - q_{k+1}, p_{k+1} - p^{*} \rangle =$$
 $\langle q_{k+1}, p_{k+1} - p_{k+2} \rangle + \epsilon_{k+1} \langle q_{k} - r_{k+1}, p_{k+1} - p^{*} \rangle.$

De plus

car

$$\phi(p^*) = \phi(p_{k+1}) < \langle r_{k+1}, p^* - p_{k+1} \rangle \qquad , \quad (r_{k+1} \in \delta \phi(p_{k+1}))$$

₫°où

$$\langle q_{k'} P_{k+1} - p^{*} \rangle - \langle q_{k+1} P_{k+2} - p^{*} \rangle \geqslant$$

 $\langle q_{k+1} P_{k+1} - P_{k+2} \rangle + \epsilon_{k+1} \langle q_{k'} P_{k+1} - p^{*} \rangle + \epsilon_{k+1} (\phi(p^{*}) - \phi(p_{k+1})).$ (16)

e) En réunissant les résultats de (11), (12), (15), (16), on obtient

$$\Phi_{k+1} = \Phi_{k} > -\frac{\gamma}{2} R^{2} \left[\left(\frac{r_{k} - r_{k+1} + r_{k}^{2} c_{k+1}^{2}}{r_{k+1}} \right)^{2} + c_{k+1}^{2} \right]$$

$$+ c_{k+1} \left(c_{k} - r_{k+1} + r_{k+1} - r_{k}^{2} + c_{k+1}^{2} \right) + c_{k+1}^{2} \left(c_{k} - r_{k}^{2} c_{k+1} + r_{k+1}^{2} c_{k+1}^{2} + c_{k+1}^{2} c_{k+1}^{2} \right)$$

$$= \left(c_{k+1} + r_{k+1} + r_{k+1}^{2} c_{k+1} + c_{k+1}^{2} c_{k+1}^{2} + c_{k+1}^{2} c_{k+1}^{2} \right). \qquad (17)$$

f) En utilisant (4.17) le deaxième terme dans le second membre de (17) est 6gal à

$$\epsilon_{k+1}^2 \mathrel{<\!q_k^{-r}\!_{k+1}}, p_{k+1}^{-p} \mathrel{+\!\!>\!\!>} \epsilon_{k+1}^2 \mathrel{<\!\!q_k}, p_{k+1}^{-p} \mathrel{+\!\!>\!\!>}.$$

De plus, de (8) ci-dessus, on déduit

$$\langle q_k^{}, p_{k+1}^{} - p^* \rangle \geq \frac{1}{\gamma \epsilon_k} \langle p_{k+1}^{} - p^*, p_{k+1}^{} - p_k^{} \rangle \geq \frac{1}{2\gamma \epsilon_k} (\|p_{k+1}^{} - p^*\|^2 - \|p_k^{} - p^*\|^2).$$

2.4. En utilisant les résultats de l'alinéa f) dans (17), on obtient

$$\begin{split} & \Phi_{\mathbf{k}+\mathbf{l}} - \Phi_{\mathbf{k}} > - \frac{\mathbf{y}}{2} \, \mathbf{H}^2 (\mathbf{5} \, \epsilon_{\mathbf{k}+\mathbf{l}}^2 + 4 (\epsilon_{\mathbf{k}}^- \epsilon_{\mathbf{k}+\mathbf{l}}^-) + (\frac{\epsilon_{\mathbf{k}}^- \epsilon_{\mathbf{k}+\mathbf{l}}^-}{\epsilon_{\mathbf{k}+\mathbf{l}}^-})^2) \\ & \quad + \frac{\epsilon_{\mathbf{k}}^2 + \mathbf{l}}{2 \gamma \epsilon_{\mathbf{k}}} \, (\|\mathbf{p}_{\mathbf{k}+\mathbf{l}}^- \mathbf{p}^+ \mathbf{e}\|^2 - \|\mathbf{p}_{\mathbf{k}}^- \mathbf{p}^+ \mathbf{e}\|^2) \, + \\ & \quad < \mathbf{q}_{\mathbf{k}+\mathbf{l}}^- \, \mathbf{p}_{\mathbf{k}+\mathbf{l}}^- - \mathbf{p}_{\mathbf{k}+\mathbf{l}}^2 > - < \mathbf{q}_{\mathbf{k}}^+ \mathbf{p}_{\mathbf{k}}^- \mathbf{p}_{\mathbf{k}+\mathbf{l}}^+ > + \epsilon_{\mathbf{k}+\mathbf{l}}^- (\phi(\mathbf{p}^+) - \phi(\mathbf{p}_{\mathbf{k}+\mathbf{l}}^-)) \, . \end{split}$$

Soit. en sommant de k = 0 à N-1,

$$\begin{split} & \Phi_{N} - \Phi_{0} > -\frac{\gamma}{2} \frac{N}{K^{-2}} \left(5c_{k}^{2} + (\frac{c_{k-1} - c_{k}}{c_{k}})^{2} \right) - 2\gamma R^{2} \left(c_{0} - c_{N} \right) \\ & + \frac{1}{2\gamma} \left[\frac{c_{N}^{2}}{c_{N-1}} \left\| ||\mathbf{p}_{N} - \mathbf{p}^{*}||^{2} - \frac{c_{k}^{2}}{c_{0}} \left|||\mathbf{p}_{0} - \mathbf{p}^{*}||^{2} + \sum_{k=1}^{N-1} \left(\frac{c_{k}^{2}}{c_{k}} - \frac{c_{k}^{2}}{c_{k}} \right) \right|||\mathbf{p}_{k} - \mathbf{p}^{*}||^{2} \right] \\ & + \langle \mathbf{q}_{0}, \mathbf{p}_{1} - \mathbf{p}_{0} \rangle - \langle \mathbf{q}_{N}, \mathbf{p}_{N+1} - \mathbf{p}_{N} \rangle \\ & + \sum_{k=1}^{N} c_{k} \left(\phi(\mathbf{p}^{*}) - \phi(\mathbf{p}_{k}) \right). \end{split} \tag{18}$$

On a

$$- \langle q_N^-, p_{N+1}^- - p_N^- \rangle > - \|q_N^-\|\|p_{N+1}^- - p_N^-\| > - \gamma \epsilon_N^- \|q_N^-\|^2 > - \gamma N^2 \epsilon_N^-$$
(où on a utilisé $\|p_{N+1}^- - p_N^-\| < \gamma \epsilon_N^- \|q_N^-\|$ comme conséquence de (4.16)).

. On rappelle les <u>hypothèses suivantes</u> (H). La suite $\{\frac{r_{k}^{2}}{\epsilon_{k-1}}\}$ est décrofssante.

(H2).La série de terme

général $(\frac{\epsilon_{k-1} - \epsilon_k}{\epsilon_k})^2$ est convergente.

Recurrence. Ces deux hypothèses sont toujours vérifiées pour des suites $\{\epsilon_k\}$ tel que $\epsilon_k = k^{-\alpha}$ avec $1/2 < \alpha < 1$ (suites vérifiant les hypothèses du Thforèse 1) mais rous n'avors pu vérifier que (H) et (E2) sont toujours une configue de .e. [31... 200 + 2 ... orling ϵ_k co .e. [31... 200 + 2 ... orling ϵ_k

Avec (H1), (H2) et les hypothèses du Théorème 1, on déduit de (17) que

$$\Phi_{N} - \Phi_{o} > -\Lambda_{N} - 2\gamma N^{2} \varepsilon_{o} - \frac{\varepsilon_{1}^{2}}{2\gamma \varepsilon_{o}} ||p_{o} - p^{o}||^{2} + \langle q_{o}, p_{1} - p_{o} \rangle$$

$$- \gamma K^{2} \varepsilon_{N} + \sum_{k=0}^{N} \varepsilon_{k} \langle \Phi(p^{*}) - \Phi(p_{k}) \rangle \qquad (19)$$

où A, est la somme jusqu'à N d'une série convergente.

2.5. De (19) on tire deux conclusions

a) En notant que le dernier terme de (19) est non-négatif, on conclue que le second membre de (19) est supérieur à une certaine constante a, d'où

$$a \leq \Phi_{\overline{N}} = \Phi_{\overline{O}} \leq \phi(p_{\overline{N}}) = \Phi_{\overline{O}}$$

d'après (10) ci-dessus. Si P n'est pas borné, et si l'on suppose que la suite $\left\{ p_k \right\}$ n'est pas bornée, on obtient une contradiction car on aurait, d'après une hypothèse de théorème 1, que

$$\lim_{N \to +\infty} \phi(p_N) = -\infty > a.$$

b) De (19) on conclue aussi que

$$\sum_{k=1}^{+\infty} \mathbb{E}_{k}(\phi(p^{*}) - \phi(p_{k})) < +\infty \quad . \tag{20}$$

Grâce à (20) on montre que

$$\lim_{k \to +\infty} \phi(p_k) = \phi(p^*). \qquad (21)$$

2.6. On va montrer que

$$\forall \alpha > 0$$
, $\exists K(\alpha) : \forall k > K(\alpha)$, $0 \leq \phi(p^*) - \phi(p_k) \leq \alpha$ (22)

ce qui est équivalent à (21).

Soit
$$W_{\bullet}(\alpha) = \{k \in \mathbb{N} \mid \phi(p^*) - \phi(p_k) > \alpha/2\}$$

Alors

$$\sum_{k \in \mathbb{N}, (\alpha)} \epsilon_k < + \infty . \tag{23}$$

En effet

$$\frac{\alpha}{2}\sum_{k\in\mathbb{N}_{q}}(\alpha)\epsilon_{k}<\sum_{k\in\mathbb{N}_{q}}(\alpha)\epsilon_{k}(\phi(\mathbb{p}^{*})-\phi(\mathbb{p}_{k}))<\sum_{k\in\mathbb{N}}\epsilon_{k}(\phi(\mathbb{p}^{*})-\phi(\mathbb{p}_{k}))<+\infty$$

d'après (20).

Par ailleurs, comme la suite $\{p_k^{}\}$ est bornée et comme ϕ est concave s.c.s, ϕ est localement lipschitzienne et on désigne par L la constante de Lipschitz sur un ensemble contenant la suite $\{p_k^{}\}$. D'après (23)

$$\mathfrak{T} \mathbb{K}(\alpha)$$
 ; $\mathbb{Y}_{\mathbb{K}} > \mathbb{K}(\alpha)$, $\sum_{\substack{1 > k; \ 1 \in \mathbb{N}_{\bullet}^{-1}(\alpha)}} \epsilon_{1} < \frac{\alpha}{2\gamma \mathbb{I}\mathbb{N}}$ (24)

Alors $Y_k > K(\alpha)$, ou bien $k \notin N_1(\alpha)$ et (22) est assuré, ou bien $k \in N_1(\alpha)$ et l'on définit

$$k_0 = Min\{1 | 1 \notin N_1(\alpha) \text{ et } 1 > k\}$$

Remarquona que k_0 existe toujours car le complément de $N_1(\alpha)$ dans N est nécessairement infini d'après (23) (la série de terme général k_0 est divergente).

Alors

$$\begin{split} \phi(\mathbb{P}^*) &= \phi(\mathbb{P}_{k}) < \phi(\mathbb{P}^*) - \phi(\mathbb{P}_{k_0}) + \phi(\mathbb{P}_{k_0}) + \phi(\mathbb{P}_{k_0}) - \phi(\mathbb{P}_{k}) \mid \\ &\cdot \qquad < \frac{\alpha}{2} + \sum_{\substack{1 \leq k \\ 1 \leq k}} L \parallel_{\mathbb{P}_1 + \mathbb{P}_1} \parallel \quad (\phi \text{ Lipschitz et } k_0 \notin \mathbb{N}_1(\alpha)) \\ &\cdot \qquad < \frac{\alpha}{2} + L \sum_{\substack{1 \leq k \\ 1 \leq k}} r_1 \parallel_{q_1} \parallel \quad (d \text{ après } (4.16)) \\ &\cdot \frac{\alpha}{2} + L \chi \times \frac{\alpha}{2\gamma L K} = \alpha \qquad (d \text{ après } (24) \text{ et } \parallel_{q_1} \parallel < \mathbb{X}) \end{split}$$

ce qui démontre (22) (donc (21)).

convergente vers \overline{p} , on a avec la semi-continuité supérieure de ϕ et (21 ci-dessus

$$\phi(p^*) = \lim \sup \phi(p_{k_s}) \leq \phi(\overline{p})$$

ce qui montre que p € P*.

b) Si ψ est fortement concave

$$\text{ \mathfrak{A} a>0, $ $\mathbb{V}_p: \phi(p^*) = \phi(p) > a \mid_{p-p^*} \parallel^2$}$$

et $p^* \in P^*$ est unique. On en déduit immédiatement que $p_{\mbox{$k$}} \to p^*$ dans la topologie forte.

2.8. Il reste à montrer un résultat de convergence sur la suite $\{q_k\}$. Pour cela on étudie d'abord la quantité.

$$\Delta_{\mathbf{k}} = \phi(p_{\mathbf{k}}) - \frac{1}{2\gamma} \|(p_{\mathbf{k}+1} - p_{\mathbf{k}}) / \epsilon_{\mathbf{k}}\|^2 \le \phi(p^*).$$
 (25)

et on montre que
$$\lim_{k \to -\infty} \|(p_{k+1} - p_k)/\epsilon_k\| = 0.$$
 (26)

a) En considérant les inégalités (11) et (15) ci-dessus, on établit que

$$\Delta_{\mathbf{k}+\mathbf{1}} - \Delta_{\mathbf{k}} \ge -\frac{\kappa^{2}}{2e^{2}} \left(\epsilon_{\mathbf{k}} - \epsilon_{\mathbf{k}+\mathbf{1}} + 2\epsilon_{\mathbf{k}+\mathbf{1}}^{2} \right)^{2} + \langle \epsilon_{\mathbf{k}}, \epsilon_{\mathbf{k}+\mathbf{1}} - \epsilon_{\mathbf{k}} \rangle$$

$$\ge -\frac{\kappa^{2}}{2e^{2}} \left(\left(\frac{\epsilon_{\mathbf{k}} - \epsilon_{\mathbf{k}+\mathbf{1}}}{\epsilon_{\mathbf{k}+\mathbf{1}}} \right)^{2} + 4\epsilon_{\mathbf{k}+\mathbf{1}}^{2} + 4(\epsilon_{\mathbf{k}} - \epsilon_{\mathbf{k}+\mathbf{1}}) \right)$$

$$\frac{\epsilon_{\mathbf{k}+\mathbf{1}}}{\epsilon_{\mathbf{k}+\mathbf{1}}} \| (\mathbf{p}_{\mathbf{k}+\mathbf{1}} - \mathbf{p}_{\mathbf{k}}) / \epsilon_{\mathbf{k}} \|^{2}$$
(27)

en utilisant l'inégalité (14).

En sommant ces inégalités de k = 0 à N-1 , on obtient

$$\sum_{k=0}^{N-1} c_k \| (p_{k+1} - p_k) / c_k \|^2 \le \gamma (\Delta_{N} - \Delta_{0}) + B_{N}$$
(28)

où B $_{\rm N}$ est la somme jusqu'à N d'une série convergente (d'après les hypothèses (H) et (E2) et celles du théorème 1). Compte-tenu de (25) (${\bf c}_{_{\rm N}} \prec {\bf c}_{_{\rm N}} \gamma_{_{\rm N}} / {\bf c}_{_{\rm N}})$ montre qu'au moins une sous-suite de la suite $\{\|({\bf c}_{_{\rm N}+1} - {\bf c}_{_{\rm N}})/{\bf c}_{_{\rm N}}\|^2\}$ tend vers séro. En fait on va montrer que toute la suite tend vers séro par un raisonnement analogue à celui du §2.6.

b) En effet, en reconsidérant les inégalités (27) et en sommant de k=1 à m-1, on obtient

$$\Delta_m - \Delta_1 > C_{1,m}$$

où $c_{1,m}$ est la somme des termes 1 à m-1 d'une série convergente. L'inégalité ci-dessus se réécrit

$$\frac{1}{2\gamma} \left\| (\mathbf{p}_{\underline{m}} - \mathbf{p}_{\underline{m}-1}) / \epsilon_{\underline{m}-1} \right\|^2 \le \frac{1}{2\gamma} \left\| (\mathbf{p}_{\underline{1}+1} - \mathbf{p}_{\underline{1}}) \ \epsilon_{\underline{1}} \ \right\|^2 + \phi(\mathbf{p}_{\underline{m}-1}) - \phi(\mathbf{p}_{\underline{1}}) - c_{\underline{1},\underline{m}}$$
 (29)

Mais, d'après (21),

$$\forall \alpha > 0, \exists K_1(\alpha): \forall 1, m > K_1(\alpha), |\phi(p_{M-1}) = \phi(p_1)| < \frac{\alpha}{3}$$
(30)

$$\mathbb{E} \mathbb{E}_{2}(\alpha) : \mathbb{Y}_{1,m} > \mathbb{E}_{2}(\alpha) , | \mathbb{C}_{1,m} | < \frac{\alpha}{3}$$
 (31)

Enfin, du fait que d'après (28), au moins une sous-suite $\{\|(p_{k_1+1}-p_{k_2})/c_{k_2}\|^2\}$ tend vers zéro,

$$\mathbb{E} \mathbb{E}_{3}(\alpha) : \mathbb{V} \mathbb{E}_{1} > \mathbb{E}_{3}(\alpha) , \frac{1}{2\gamma} \| (\mathbb{P}_{\mathbb{E}_{1}+1} - \mathbb{P}_{\mathbb{E}_{1}}) / \mathbb{E}_{\mathbb{E}_{1}} \|^{2} < \frac{\alpha}{3}$$
 (32)

(en prenant la précaution de choisir $K_{\chi}(\alpha)$ comme indice de la sous-suite $\{k_{\underline{1}}\}$). Alors en réunissant (29) à (32), et en posant $K(\alpha) = \max(K_{\chi}(\alpha), K_{\chi}(\alpha), K_{\chi}(\alpha))$ on voit que

$$\forall \alpha, \ \Xi K(\alpha) : \forall \alpha > K(\alpha), \ \frac{1}{2} \gamma \| (p_{\alpha} - p_{\alpha-1}) / c_{\alpha-1} \|^2 < \alpha$$

ce qui démontre (26).

2.9. On montre maintenant que, pour tout p* € P*,

$$\lim_{k \to +\infty} \langle q_k, p_{k+1} - p^* \rangle = 0.$$
 (33)

a) De (8), on tire

$$\langle \mathbf{q}_{\mathbf{k}}, \mathbf{p}_{\mathbf{k}+1} - \mathbf{p}^* \rangle > \langle (\mathbf{p}_{\mathbf{k}} - \mathbf{p}_{\mathbf{k}+1}) / \epsilon_{\mathbf{k}}, \mathbf{p}^* - \mathbf{p}_{\mathbf{k}+1} \rangle \cdot$$

Comme la suite {p,} est bornée et avec (26), on a que

$$\lim \inf \langle q_k, p_{k+1} - p^* \rangle \ge 0. \tag{34}$$

b) Par ailleurs, de (16) on déduit que

$$\mathbf{t_{k+1}} \leq (1 - \epsilon_{k+1}) \mathbf{t_k} + \epsilon_{k+1} \leq_{\mathbf{k}+1} , (\mathbf{p_{k+2}} - \mathbf{p_{k+1}}) / \epsilon_{k+1} >$$

en ayant posé $\mathbf{t}_{\mathbf{k}} = \langle \mathbf{q}_{\mathbf{k}}, \mathbf{p}_{\mathbf{k}+1} - \mathbf{p}^{*} \rangle$. Remarquant que lim $\langle \mathbf{q}_{\mathbf{k}+1}, (\mathbf{p}_{\mathbf{k}+2} - \mathbf{p}_{\mathbf{k}+1}) / \mathbf{r}_{\mathbf{k}+1} \rangle$ et utilisant le lemme ci-dessous (§2.13) on en déduit que lim sup $\mathbf{t}_{\mathbf{k}} < 0$ ce qui avec (34) établit (33).

2.10. Comme la suite $\{q_k\}$ est borné, soit \overline{q} un point d'adhérence dans la topologie faible et $\{q_k\}$ une sous-suite convergente vers \overline{q} . D'après (8)

$$\forall p \in P, \ <_{q_{\underline{k_{1}}}, p-p_{\underline{k_{1}+1}}} > < \|(p_{\underline{k_{1}+1}-p_{\underline{k_{1}}}})/\epsilon_{\underline{k_{1}}}\|\|p-p_{\underline{k_{1}+1}}\| \ .$$

Le second membre tend vers zéro, et pour le premier, on a

$$\lim \langle q_{\underline{k}_{\underline{1}}}, p \rangle = \langle \overline{q}, p \rangle$$
 , $\forall p$ (convergence faible),

$$\lim \, \langle q_{k_{\underline{i}}}, p_{k_{\underline{i}}+1} \rangle = \lim \, \langle q_{k_{\underline{i}}}, p^* \rangle = \langle \overline{q}, p^* \rangle \quad \text{(d'après (35) et la convergence faible)}.$$

d'où finalement par passage à la limite $(k_i - + \infty)$ dans l'inégalité ci-dessus, avec (26),

$$t_{k+1} < (1-\epsilon_{k+1}) t_k + \epsilon_{k+1} (\phi(p_{k+1})-\phi(p) + cq_{k+1}, (p_{k+2}-p_{k+1})/\epsilon_{k+1})$$

1'on a posé maintenant $t_c = (q_{c}, p_{c-1}-p)$. Alors par le lemme ci-dessous

où l'on a posé maintenant $\mathbf{t}_k = \langle \mathbf{q}_k, \mathbf{r}_{k+1}, \mathbf{p} \rangle$. Alors par le lemme ci-dessous (§2.13) on a lim sup $\mathbf{t}_k < \phi(\mathbf{p}^*) - \phi(\mathbf{p})$ et pour les indices de la sous-suite $[k_i]$ comme précédement on obtient, lim $\mathbf{t}_{k_i} = \langle \mathbf{q}_i, \mathbf{p}^* - \mathbf{p} \rangle$ et donc

$$\forall p$$
 , $\langle \overline{q}, p-p* \rangle > \phi(p) - \phi(p*)$

ce qui prouve que

$$\overline{q} \in \delta \phi(p^*)$$
. (36)

La réunion de (35) et (36) montre que $\overline{q} \in Q^*$ ce qui termine la preuve du Théorème 1.

où la valeur du second membre de (37) est indépendante du couple (p^{*},q^{*}) choisi dans $P^{*}\times Q^{*}$ d'appès le Lemme 1 . En effet, on a vu que pour toute sous-suite d'indices $k_{\underline{i}}$ tel que $\left\{q_{\underline{k}_{\underline{i}}}\right\}$ converge faiblement vers \overline{q} ,

$$\overline{\mathbf{q}} \ \in \ \mathbf{Q} * \quad \text{et} \quad \lim \ {\langle \mathbf{q}_{\mathbf{k}_{\mathbf{q}}}, \mathbf{p}_{\mathbf{k}_{\mathbf{q}} + \mathbf{1}} \rangle} \ = \ \lim \ {\langle \mathbf{q}_{\mathbf{k}_{\mathbf{q}}}, \mathbf{p} * \rangle} \ = \ \langle \overline{\mathbf{q}}, \mathbf{p} * \rangle$$

d*après (33) et la convergence faible. Mais comme la valeur $(\overline{q}, p*)$ est indépendante des points $(p*, \overline{q})$ dans $P* \times Q*$, c'est toute la suite $(q_1, p_{1,4})$ qui converge vers cette valeur.

D'autre part $\lim \langle q_k, p_{k+1} \rangle = \lim \langle q_k, p_k \rangle$ d'après (26).

2.13. Au cours de la démonstration on a utilisé à deux reprises le lemme suivant.

<u>Lemme</u>. Soit trois suites réelles $\{t_k\}$, $\{s_k\}$ et $\{c_k\}$ telles que

$$0 \le \varepsilon_k \le 1$$
, $\sum_{k=1}^{+\infty} \varepsilon_k = +\infty$ (38)

$$\lim_{k \to +\infty} s = s^*$$
(39)

$$t_{k+1} \le (1-\epsilon_{k+1})t_k + \epsilon_{k+1}s_k$$
, $1 = 0, ..., +\infty$. (40)

Freuve. Il n'y a pas de perte de généralité à supposer $s^* = 0$ (dans le cas général, on considère les quantités $t_k - s^*$ et $s_k - s^*$ pour lesquelles (40) est encore valèle).

Notons que

$$log \left(1-\epsilon_{k}\right)^{2} < -\epsilon_{k}$$

$$donc log \prod_{i=1}^{+\infty} \left(1-\epsilon_{k}\right)^{2} < -\sum_{k=1}^{+\infty} \epsilon_{k} = -\infty$$

$$d^{4}oh lim \prod_{i=1}^{+\infty} \left(1-\epsilon_{k}\right) = 0$$
(42)

On a

$$\forall \alpha > 0 : \exists K_1(\alpha) : \forall k > K_1(\alpha) , \prod_{i=0}^{k-1} (1-\epsilon_{1+i}) < \frac{\alpha}{3|\alpha_i|}$$
 (43)

d'après (42). D'après (39)

$$\exists K_2(\alpha) : \forall k > K_2(\alpha)$$
, $|s_k| \leq \frac{\alpha}{3}$ (rappel : $s^* = 0$). (44)

Posons $K_{\chi}(\alpha) = \max(K_{\chi}(\alpha), K_{\chi}(\alpha))$ et

$$\underline{\mathbf{K}}_{3}(\alpha) = \sum_{l=0}^{\mathbf{K}_{3}} \varepsilon_{1+l} |s_{1}| \prod_{m=1+l}^{\mathbf{I}} (1-\varepsilon_{m+l})$$
(45)

(avec la convention : $\forall x$, $\prod_{m=K+1}^{n} (1-\epsilon_{m+1}) = 1$).

Alors d'après (42)

$$\mathbb{E} \mathbb{E}(\alpha) > \mathbb{E}_{\overline{3}}(\alpha) : \mathbb{V} \times \mathbb{E}(\alpha)$$
, $\prod_{m \in \mathbb{E}_{\alpha}} (1 - \varepsilon_{M+1}) < \frac{\alpha}{3M(\alpha)}$. (46)

En utilisant (40) récursivement, on obtient, $\forall k > K(\alpha)$:

$$\begin{split} \mathbf{t}_{k} &< \sum_{l=0}^{k-1} \epsilon_{1+l} s_{1} \prod_{m=l+l}^{k-1} (1-\epsilon_{m+l}) + s_{0} \prod_{l=0}^{k-1} (1-\epsilon_{1+l}) \\ & \mathbb{K}_{5}(\alpha) \quad \mathbb{K}_{5}(\alpha) \\ &= \left[\sum_{l=0}^{m} \epsilon_{1+l} s_{1} \prod_{m=l+l} (1-\epsilon_{m+l}) \right] \times \prod_{m=K_{5}(\alpha)}^{k-1} (1-\epsilon_{m+l}) \\ & \cdot \quad + \sum_{l=K_{5}(\alpha)+l}^{k-1} \epsilon_{1+l} s_{1} \prod_{m=l+l}^{k-1} (1-\epsilon_{m+l}) + s_{0} \prod_{l=0}^{k-1} (1-\epsilon_{1+l}) \\ & < \mathbb{M}(\alpha) \frac{\alpha}{3\mathbb{M}(\alpha)} + \frac{\alpha}{2} \sum_{l=K_{5}(\alpha)+l}^{k-1} \epsilon_{1+l} \prod_{m=l+l}^{k-1} (1-\epsilon_{m+l}) + |s_{0}|^{\frac{1}{2}} \frac{\alpha}{3|s_{0}|} \end{split}$$

em passant aux valeurs absolues et en utilisant (43) à (46). Enfin en

remarquant que

(47)

(considérer t_k = s_k = 1, ∀k, et l'égalité dans (40)), on obtient par (47)

$$\forall \alpha > 0$$
 , $\exists K(\alpha)$, $\forall k > K(\alpha)$, $t_k \leq \alpha$,

ce qui démontre le lemme.

Corollaire : Si on a l'égalité dans (40), alors lim t = s*.

3. PREUVE du THEOREME 3

5.1. Soit
$$t_{k+1} = (1-t_{k+1}) t_k + t_{k+1} \cdot t_{k+1}, \theta(u_{k+1}) > , k = 0, 1, ...$$
 (48)
partant de $t_k = \langle p_0, \theta(u_0) \rangle$. Alors

$$\lim_{k \to +\infty} t_k = \langle p^*, \theta(u^*) \rangle \tag{49}$$

où $\cdot(u^*,p^*)$ est un point-selle quelconque (rappelons que la valeur du second membre de (49) est indépendante du point-selle choisi).

On a en effet

$$\mathbf{t}_{k+1} = \langle \mathbf{q}_{k+1}, \mathbf{p}_{k+1} \rangle = (1 - \epsilon_{k+1}) (\mathbf{t}_k - \langle \mathbf{q}_k, \mathbf{p}_k \rangle) + (1 - \epsilon_{k+1}) \epsilon_{k+1} \langle \mathbf{q}_k, (\mathbf{p}_k - \mathbf{p}_{k+1}) / \epsilon_{k+1} \rangle$$

en se servant de (4.20). Comme, d'après (26),

$$\lim (1-\epsilon_{k+1}) <_{q_k}, (p_k-p_{k+1})/\epsilon_{k+1}> = 0$$

on a d'après le corollaire ci-dessus que

 $\lim(t_k - \langle q_k - p_k \rangle) = 0$, ce qui établit (49) grâce à (37).

3.2. Avec (4.23) et la convexité de J

$$J(v_{k+1}) \le (1-\epsilon_{k+1})J(v_k) + \epsilon_{k+1}J(u_{k+1}).$$

En utilisant (48), il vient

$$J(v_{k+1}) + t_{k+1} \le (1-\epsilon_{k+1})(J(v_k) + t_k) + \epsilon_{k+1}L(u_{k+1}, p_{k+1}).$$
 (50)

Par ailleurs puisque $u_{k+1} \in \hat{\mathbb{D}}(\mathbb{P}_{k+1})$ et par l'une des inégalités du point-selle $L(u_{k+1}, E_{k+1}) \in L(u^*, p_{k+1}) \in L(u^*, p_{k+1})$

d'où avec (50)

$$J(v_{k+1}) + t_{k+1} \le (1-\epsilon_{k+1})(J(v_k)+t_k) + \epsilon_{k+1}L(u^*, p^*)$$

d'où, par le lemme du §2.13

$$\lim \sup (J(v_k)+t_k) \leq L(u^*,p^*),$$

et, avec (49),

$$\lim \sup J(v_k) \leq J(u^*). \tag{51}$$

Par la coercivité de J, ceci montre que la suite $\{v^k\}$ est bornée. Soit \overline{v} un point d'adhérence faible et $\{v_{\underline{k}_{\underline{i}}}\}$ une sous-suite convergente vers \overline{v} .

$$J(\vec{v}) \leq \lim \inf J(v_{\vec{k}_{\underline{i}}}) \leq \lim \sup J(v_{\vec{k}}) \leq J(u^*). \tag{52}$$

3.3. On a également par convexité de l'application u → <p*,θ(u)>

$$<_{p^*,\theta(v_{k+1}^-)}><(_{1-\epsilon_{k+1}^-})<_{p^*,\theta(v_k^-)}>+\epsilon_{k+1}^-<_{p^*,\theta(u_{k+1}^-)}>$$

mais avec (4.20).

$$\langle p^*, \theta(v_{k+1}) - q_{k+1} \rangle \le (1 - \epsilon_{k+1}) \langle p^*, \theta(v_k) - q_k \rangle$$

et donc lim sup $\langle p^*, \theta(v_k) - q_k \rangle \le 0$. (52 bis)

Comme les points d'adhérence faible de $\{q_{x}\}$ sont des $q^{x} \in Q^{x}$ et comme $\{p^{x},q^{x}\}$ est constant sur P^{x} , Q^{x} , come par ailleurs il est évident que pour tout point-selle (u^{x},p^{x}) , on a $\theta(u^{x}) \in Q^{x}$, $(S^{2}$ big) implique

 $\lim\sup <p*,\theta(v_{\nu})><<p*,\theta(u*)>$

et en considérant la sous-suite $\{v_k\}$ du §3.2 ci-dessus et avec la semi-continuité inférieure de l'application $u \mapsto \langle p^*, \theta(u) \rangle$

$$\langle p^*, \theta(\overline{v}) \rangle \leq \lim \inf \langle p^*, \theta(v_{\overline{k}}) \rangle \leq \lim \sup \langle p^*, \theta(v_{\overline{k}}) \rangle$$

$$\leq \langle p^*, \theta(u^*) \rangle . \qquad (53)$$

3.4. Alors en additionnant (52) et (53)

$$L(\overline{Y}, p^*) \leq L(u^*, p^*)$$
 (54)

mais seule l'égalité est possible car u* € Û(p*). Mais cec' inglique que l'on a simultanément les égalités

$$J(\overline{v}) = J(u^*)$$
 et $\langle p^*, \theta(\overline{v}) \rangle = \langle p^*, \theta(u^*) \rangle$ (55)

car si l'on suppose par exemple l'inégalité stricte dans (52), cela implique à cause de <u>l'égalité</u> dans (54) une inégalité stricte en sens inverse dans (53) ce qui est une contradiction.

Avec (55), il est trivial de vérifier les deux inégalités du point-selle pour le couple (\overline{v},p^*) ce qui achève la démonstration.

3.5. Remarque : De façon analogue à (48)-(49), on peut montrer facilement en utilisant les résultats précédents que

$$\lim t_k = J(u^*)$$

pour t, défini récursivement par

$$\mathbf{t_o} = \mathbf{J}(\mathbf{u_o'}), \ \mathbf{t_{k+1}} = (\mathbf{1} - \boldsymbol{\epsilon_{k+1}}) \mathbf{t_k} + \boldsymbol{\epsilon_{k+1}} \mathbf{J}(\mathbf{u_{k+1}})$$

Note sur l'utilisation du programme

I- Lexique des variables du programme

1-Variables de transit et de capacités de transport.

IX(260) : transit sur chaque arc dans Flomax.

IBP (260) : Capacité maximale de chaque arc.

IEC(82) : Capacité existante sur chaque arc du réseau (q1)

IXX(82×501) : Tableau des transits circulant algébriquement sur chaque arc pour tous les aléas.

IX2 (48×501) : Tableau des capacids des arcs de production pour chaque aléa. IX3(48×501) : Tableau des capacités des arcs de défaillance pour chaque aléa.

IQX : Valeur absolue du transit sur un arc pour 1 aléa | q_{*}(ω) | AA(82) : $\sum p_{\pm}^{k}(\omega)|q_{\pm}^{k}(\omega)|$ pour chaque arc.

BX(82×501) $^{\omega}$: Tableau des $z_{\pm}^{k}(\omega)$ pour tous les arcs \pm et les aléas ω .

AB(82) : $\sum p_{\mathbf{t}}^{k}(\omega)z_{\mathbf{t}}^{k}(\omega)$ pour chaque arc.

INV(82) : tableau suivant à stocker $y_{\pm}^{k}(\omega) = \max_{\omega} z_{\pm}^{k}(\omega)$ ainsi que $y_{+}^{k} - q_{+}^{Vo}$ pour tous les arcs.

JP(48) : Production fixe au nocuds MIP(185) : Puissance maximale de chaque centrale.

JD(48) : Consommation aux noguds.

MIPTO : Production totale dissipée sur le réseau pour une situation aléatoire.

ICSOM : Consommation totale réelle du réseau.

JBK (48×501) : Tableau servant à conserver les capacités maximales des arcs de production IBP, pour tous les aléas - JBK est issu de ALEAT.

2. Variables de Coût.

ICT (82) Coût unitaire d'investissement pour tous les arcs (c,).

IC (260) Coût pour chaque arc et pour un aléa intervenant dans Flomax.

IC comprend les coûts de production c_n(0) et les coûts de défaillance (24 000 ou 2400) c..

CF : Coût de défaillance.

AG : Coût dual. COT : Coût primal.

Autres variables.

IPA (185) : Taux de panne des centrales.

ING1 (182) : sommets de départ des arcs de transport.

ING2 (182) : sommets d'arrivée des arcs de transport.

ING1 (165 - 349) : Sommets reliés aux groupes de production.

B(82x501): Tableau contenant les paramètres duaux $(I_{\perp}^{k}(\omega) \text{ et } p_{\perp}^{k}(\omega))$ pour tous les arcs et tous les aléas .

 $V(82): \sum \Pi_{\pm}^{k}(\omega)$ pour tous les arcs.

ROU(82) : tableau servant à stocker le pas pour chaque arc t.

R , P , T , : variables relatives au pas ρ^k de l'algorithme.

PI : Pas εk de l'algorithme.

RI : Terme de série divergenté pouvant servir au calcul de ϵ_{\perp}^{k} ou ρ_{\perp}^{k} NAL : Nb d'aléas.

NAF : Nb d'aléas y compris l'aléa fictif = NAL + 1 .

NT, : nb d'arcs (82).

NN : nb de noeuds (48).

NG : nb de groupes de production (185).

TPAS . Nº de l'itération.

TPAMAX : Numéro de la dernière itération désirée.

IA. IB. Z : variables d'Aléat.

M, N, NS, NC, NG1, NG2, IBAS, NUM, IU, ISOL, JCOL . Variables de FLOMAX.

MUM. NNC : Variables relatives à Flomax. (cf. II).

II - Quelques précisions sur l'utilisation du programme.

1 - Lecture des données.

Les valeurs continues dans ICT sont multipliées par 1000.

JD - JP représente la demande réelle en chaque noeud.

2 - <u>Initialisation des tableaux</u>

* B(82x501) est initialisé à 0 sur tous les arcs pour les 500 aléas et à 1 pour tous les arcs dans la 501 e situation aléatoire, fictive.

* NG1(260) et NG2 (260) sont des tableaux entrant dans FLOMAX et relatifs au graphe :

- pour un arc I $_t$ de transport, NG1(I $_t)$ représente le sommet de départ, NG2(I $_t)$ représente le sommet d'arrivée.

Dans FLOMAX, les transits doivent être positifs.

Chaque arc est donc dédoublé en deux arcs de sens contraire, I_t et $I_t + \text{NL}$: $\begin{bmatrix} \text{NG1}(I_t) = \text{NG2}(I_t + \text{NL}) = \text{ING1}(I_t) \\ \\ \text{NG2}(I_t) = \text{NG1}(I_t + \text{NL}) = \text{ING2}(I_t) \end{bmatrix}$

- Pour un arc I_p de production (165 $\leq I_p \leq$ 212) qui n'est pas un arc vrai, NG1 $(I_p) = I_p$ -164 représente le sommet, l'arrivée de cet arc qui est dit arc rentrant. NG2 $(I_n) = 0$
- Pour un are de défaillance $\rm I_d(213 \le I_d \le 260)$ on a aussi NG2(I_d) = 0 car I_d n'est pas un are vrai.

NG1($I_d^{"}$) = $I_d^{"}$ - 212 si l'arc est rentrant (défaillance réelle).

NG1(I_d) = 212- I_d si l'arc est sortant (défaillance négative).

NB Le tableau ING1(165 - 349) contenant les numéros des sommets reliés aux groupes de production n'apparaît plus dans la suite du programme car on compile tous les groupes sur les area de production rentrant sur les sommets du graphe, et à jusqu'à satisfaction de la demande.

- Le tableau IBP(260) contient les bornes supérieures des transits pour tous les arcs. (tableau nécessaire à FLOMAX).
- pour un arc de transport ou de défaillance il n'y a pas réellement de limitation. On prend donc un nombre très grand : 150 000.
- pour un arc de production on calcule la somme des puissances maximales des centrales empilées sur l'arc considéré.

3. Première partie de l'itération.

Elle est constituée par la résolution des 500 problèmes de Flot (call FLOMAX) correspondant aux 500 situations aléatoires (Boucle 14).

* Le coût IC est obtenu par la répartition du coût unitaire par arc, ICT sur tous les aléas (Boucle 20).

La suite du programme, jusqu'à l'étiquette 722, initialise les variables de FLOMAX à la première itération.

* Boucle 17 : IA étant initialisé, chaque appel de ALEAT fournit une valeur uniforme entre 0 et 1, Z, , à condition de reprendre IA = IB après chaque appel.

Chaque situation aléatoire correspondant à une valeur de L (cad de ω), est donc constitué par 185 valeurs Z aléatoirement tirées par AIEAT. Chaque Z ainsi obtenu est comparé au taux de panne IPA de la centrale correspondante. Si Z est inférieur au taux de panne, la centrale est en panne.

Chaque fois qu'un groupe est déclaré en service à l'issue de ce test, sa puissance maximale de production, MIP, s'ajoute à IBP sur l'arc de production correspondant. Quand, su cours de cette opération, MIPTO atteint on dépasse IGSOM, on sort de la boucle.

Les 500 situations aléstoires étant déterminées une fois pour toutes, on conserve pour chaque L, les 48 valeurs de IBP ainsi obtenues dans le tableau JBK (48x500), ce qui évite de refaire le tirage à chaque itération.

* Vient ensuite l'initialisation des variables de transit IX. Au départ, les arcs de transport et de production sont initialisés à 0 (IX(1 - 212)) BAS = -1 car IX est en butée inférieure sur les contraintes . Pour les arcs de base (IBAS-0), IX (213-260) est initialisé au signe près à la valeur du second membres des contraintes : [JD-JF] .

En effet FLOMAX impose IX positif ou nul.

On a done : si $JD-JP \ge 0$ IX = JD - JP.

et NG1(I) = I-212 Arc de défaillance rentrant.

si JD - JP < 0 IX = JP-JD

et NG1(I) = 212 - I Arc de défaillance sortant.

NUM sert à numéroter les arcs de base. Au départ NUM(I) = I-212 puisque ici 213 < I < 260.

 La partie suivante du programme jusqu'à l'appel de FIDMAX est constituée par la récupération des paremètres issus de FLOMAX à l'itération précédente : BBP, II, NUM, IBAS, NC. Cette récupération permet d'initialiser les variables de FLOMAX après la première itération de manière très performante et entraine ainsi un gain de temps appréciable.

La partie suivant l'appel de FLOMAX est constituée bien sûr par le stockage de ces mêmes variables à l'aide des tableaux IXX, IX2, IX3, MUM,

Deux remarques :

- IBAS ne pouvant contenir que les valeurs suivantes :
- 1 (Butée inférieure), 0 (base) et 41 (butée supérieure), il n'a pas été mécessaire de conserver IBAS sous la forme d'un tableau (260 x 500). On ajoute à chaque IX issu de FLOMAX, la quantité entière 10 000 x (1+IBAS). Deux tests simples permettant ensuite de récupérer la valeur exacte de IX sinsi que IBAS.
- Il est sisé de constater que les arcs dédoublés avant de passer dans FIONAX, n'ont jamais tous les deux un transit non mul. Four des raisons de codt minimum, le transit passe soit dans 1 sens soit dans l'autre. Ceci nous permet de ne garder en mémoire que la différence IIX(I,L)=IX(I,H2) pour chaous arc.
- Le signe de LXX permet ensuite de récupérer le sens dans lequel le transit est non nul.

4. La seconde partie de l'itération

Une fois les transits calculés pour les 500 situations aléatoires, on aborde l'algorithme de MINMAX proprement dit.

Les équations (2) et (3) mont indiquées ainsi que les phases du calcul des coûts dual (AA,AG) et primal (BX,IW et COT).

Enfin les équations (6) et (7) constituent le deuxième niveau au cours duquel sont remis à jour les paramètres duaux B (82x500).

```
REAL *4 IC. IX. IU. IBP. JQX, IXX, IX2, IX3, INV
       COMMON /FLO/M, N, MS, NC, NG1 (510), NG2 (510), IC (510), IX (510), IBAS (510),
       INUM(100), ISP (510), IN (510), ISOL (510), JCOL (510)
       DIMENSION AA(93), AB(83), ROH(83)
       COMMON IXX(83,502), [x2(49,502), [x3(49,502), JBK(49,502)
       COMMON BX (83,502)
       COMMON B(83,502), MUM(49,502)
       OTMENSION MIP(200), IEC(200), INV(100)
       DIMENSION ING! (500), IHG2 (500), ICT (100), V(100)
         INTEGER BLANC.CROIX.FTOIL
       DIMENSION HUC(501)
       DIMENSION JD(100), IPA(200), JP(100)
        DATA BLANC/1H /.CROIX/1H+/.ETOIL/1H+/
       LEC=105
       IMP=108
       IGR=100000
       IPAS=1
       AG=0.
 3307 F RMAT(1x, TILT A L!ITERATION , 1x, 13)
         L=500
       F. AL=FLOAT (NAL)
       =185
         =48
         =82
       b.=NL+1
       NS=2*NL
       1 PAMAX=68
       TPI=1.
       PI=1.
       PI=1.
       Pu=5.E-4
 С
 C
 c
         LECTURES DES DONNEES
 c
 c
        1
       FURMAT(2613)
       FORMAT (1316)
 9
       F (RMAT(1615)
 10
       RMAT(2014)
         PMAT (2613)
 11
         'AD(LEC, 1) (ING1(I), I=1, NL)
        FAD (LEC, 1) (ING2(I), I=1,NL)
       READ(LEC,6) (ICT(I), I=1, NL)
       READ(LEC, 1) (ING1(I), I=165, 349)
       PEAD(LEC,9)(IEC(I), I=1,NL)
       READ(LEC, 10) (MIP(I), I=1, NG)
       READ (LFC, 11) (IPA(I), I=1,NG)
       READ(LEC, 9) (JP(I), I=1,NN)
       READ (LEC, 9) (JD(I), I=1, NN)
       WRITE (IMP. 9) (JD (I) . I=1.NN)
       FORMAT(1X, 1415)
       WRITF(IMP, 3307) IPAS
       FORMAT(1x, 'PI=', E16.8)
19888
c
        ************************
, c
                INSTITUTE OF STAPLEAUX
c
ŧč
        ******************************
       IG1=NS+1
       IG2=MS+NN
       ID=IG2+1
       IT=NS+2+NN
      FORMAT (18, 12, F16.8, 219)
```

```
NAF=NAL+1
     FNAF=FLOAT(NAF)
     B(1,1)=0.
     DO 701 L=1, NAL
     DO 701 I=1,NL
     B(I,L)=B(1,1)
701
     CONTINUE
     00 700 I=1,NL
     AB(I)=0.
     Bx(I,NAF)=FLOAT(IEC(I))
     IXX(I, MAF)=FLOAT(IEC(I))
     B(I.NAF)=1.
700
     CONTINUE
     DO 8 I=IG1, IT
     NG2(I)=0
     CON1 INUE
     00 18 I=1,NL
     NG1(I)=ING1(I)
     NG2(I)=ING2(I)
     JK=I+NL
     NG1(JK)=ING2(I)
     NG2(JK)=ING1(I)
     IBP(I)=150000
     TRP(JK)=150000
       CONTINUE
  18
     ICSOM=0
     DO 118 I=1,NN
     TCSOM=ICSOM+JD(I)-JP(I)
     K=I+NS
     Tr(K)=0
     NG1(K)=T
     KK=T+TG2
     TRP(KK)=150000
118
     CON1 INUE
C
           INITIALISATION D'ALFAT
C
     IA=99
00000
         DEBUT DE L'ITERATION
č
        60
      CONTINUE
     FORMAT(1X, 'RO=', E16.8)
     CF=0.
     DO 14 L=1.NAL
     M=NN
     N=11
CCC
      c
       CALCUL DES COUTS D'INVESTISSEMENT SUR CHAQUE ARC DE TRANSPORT
Č
      ****************************
C
     no 20 I=1,"I.
     LI=I+NL
     IC(I)=FLOAT(ICT(I))+B(I,L)
905
     IC(LI)=IC(I)
   20 COULTNUE
     IF(TPAS-1) 21,21,722
21
     CONTINUE
```

```
c
        INITIALISATION OF FLOHAX A L'ITERATION 1
 C
 C
 C
       **************
 c
 ř
      DO 177 I=1,M
      K=I+NS
      IBP(K)=0
      JBK (I,L)=0
      CONTINUE
 177
       **************
 C
       CALCUL DES CAPACITES MAXIMALES DES ARCS DE PRODUCTION
                      A PARTIR
 C
       DU TIRAGE ALEATOIRE DES GROUPES EN FONCTIONNEMENT
      LES GROUPES ETANT RANGES PAR ORDRE DE COUT CROISSANT,
 C
 c
       ON LES PREND EN COMPTE JUSQU'A SATISFACTION DE LA DEMANDE
 č
       C
 c
      MIP10=0
      DO 17 J=1.NG
      JK=J+NS
      KT=ING1(JK)
      CALL ALEAT(IA, IB, Z)
ż
      IA=IB
      Z=100*Z
      IL=Z
      IF(IL-IPA(J))17,15,15
      JBK(KI,L)=JBK(KI,L)+MIP(J)
 15
      IK=KI+NS
      IBP(IK)=JBK(KI,L)
      MIP10=MIPTO+MIP(J)
      IF (MIPTO-ICSOM) 17, 117, 117
      CONTINUE
£ 117
      CONTINUE
 C
      l c
      INITIALISATION DES VARIABLES NECESSAIRES AU FONCTIONNEMENT DE
          FLOMAX : IBAS, NUM, , IC, IX,
      FLOMAX : IBAS, MUM, IC, IX, NC, ET NG1 POUR LES ARCS DE DEFAILLANCE
 C
       TOUJOURS POUR L'ITERATION 1
 C
      POUR PLUS DE PRECISIONS : CF NOTICE
      DO 26 I=1.IG2
      IRAS(I)=-1
      IX(I)=0
     CONTINUE
     K=0
     DO 721 I=ID.IT
     K=K+1
      IC(I)=24000
     (v_1, (v_2) = 1)
      IBAS(I)=0
     In=I-I62
      (01)qL-(01) 0L=(1) x1
     IF(IX(I))421,422,422
      Ix(I) = -Ix(I)
      IC(I)=2400
                             A - 25
```

```
NG1(I)=IG2-I
      GO 10 721
 422
      NG1(I)=I-IG2
 721
      CONTINUE
      NC=0
      60 10 7274
 722
      CONTINUE
          č
 С
       REINITIALISATION DE FLOMAX A L'ITERATION K(K SUP A 2)
 c
          A PARTIR DE L'ITERATION K-1 POUR CHAQUE ALEA
 ε
          *************************
 c
      NC=NNC(L)
      DO 1723 I=1,M
      NI=I+NS
      IBP(NI)=JBK(I,L)
      IX(NI)=IXS(I,L)
      KI=I+IG2
      IX(KI)=IX3(I.L)
1723
      CONTINUE
      DO 723 I=1,NL
      LI=I+NL
      IF (IXX(I,L)) 7221,7222,7222
7222
      Ix(I)=Ixx(I,L)
      Ix(LI)=0.
      GO 10 723
7221
      Ix(LI) = -Ixx(I,L)
      Ix(I)=0.
 723
      CONTINUE
      DO 888 K=1, IT
      IF(IFIX(IX(K)+1.)=IGR) 7201,7202,7202
 7201
      IBAS(K)=-1
      60 10 888
7202
      IF (IFIX(IX(K)+1.)-2*IGR) 7203,7204,7204
 7203
      IBAS(K)=0
      TY(K)=IX(K)-IGR
      GO 10 888
L7204
      IBAS(K)=1
      IX(K)=IX(K)-2*IGB
      CONTINUE
      DO 47 K=1,M
      NUM(K)=MUM(K,L)
      CONTINUE
7274
     CONTINUE
Č
c
       **** APPEL DE FLOMAX *****
c
Č
       *************************
      CALL FLOMAX
c
        COUT DE PRODUCTION ET DE DEFAILLANCE PAR ALEA
ç
      DO 29 I=ID.IT
      CF=CF+IX(I)+IC(I)
c 29
       CONTINUE
```

```
00000
       STOCKAGE DES VARIABLES ISSUES DE FLOMAX A L'ITERATION K
       POUR L'ALEA L EN VUE DE LEUR RECUPERATION POUR LE MEME ALEA
             A L'ITERATION K+1
 č
       ***************************
 C
      NNC(L)=NC
      DO 290 I=1, IT
      IF (IBAS(I)) 280,298,299
 298
      Ix(I)=Ix(I)+IGR
      60 10 280
      Ix(I)=Ix(I)+2*IGR
 299
 280
      CONTINUE
      DO 82 I=1.NL
      LT=I+NL
      IXX(I,L)=IX(I)-IX(LI)
 82
      CONTINUE
      DO 820 I=1,M
      MUM(I,L)=NUM(I)
      NT=I+NS
      IXS(I,L)=IX(NI)
      KI=I+IUS
      IX3(I,L)=IX(KI)
820
      CONTINUE
1 14
       CONTINUE
 C
F C
 c
         FIN DE LA BOUCLE SUR LES ALEAS
CC
 C
 Ċ
 C
       CALCUL DU COUT DUAL(AG(AA)) ET DU COUT PRIMAL (COT(INV))
 c
 Č
 c
       C
      AG=0.
      DO 3399 T=1.NL
      INV(I)=0.
      AA(I)=0.
 3399
      CONTINUE
      DO 331 LZ=1,NAL
      DO 331 I=1, NL
 C
 C
          ***********************
 c
 C
        CALCUL DES TRANSITS DES ARCS POUR TOUS LES ALEAS
 c
 c
         **********************************
l c
      IOX=ABS([XX([,L7])
      IF (!F!x(!:)+!)=[GR) #91,402,802
892
      IF (IFIx(IDX+1.)-2+IGR) 893,894,894
 894
      Idx=Idx-5*ICB
      60 10 891
893
      Igx=Igx-IGR
 891
      CONT INUE
 c
                               A - 27
```

```
c
       *********
 C
          EQUATION (2)
 č
 c
       *************************
 C
      BX(I,LZ)=(1,-PI)*BX(I,LZ)*PI*IQX
 c
       AA(I)=AA(I)+B(I,LZ)+IQX
       INV(I)=AMAX1(INV(I),BX(I,LZ))
 331
      CONTINUE
      DO 333 I=1,NL
       AA(I)=AA(I)+B(I,NAF)*FLOAT(IEC(I))
       AG=AG+(AA(I)-FLOAT(IEC(I)))*FLOAT(ICT(I))*1.E-3
 С
 c
       ***************************
 C
       EQUATION (3)
 c
       ......
C
      AB(I)=(1.-PI)*AB(I)+PI*AA(I)
 C
333
      CONTINUE
 338
      FORMAT(1X, 'TRANSITS')
 335
      FORMAT(1X.8F14.2)
T-C
 C
c
         COUT MOYEN DE PRODUCTION ET DE DEFAILLANCE
c
 C
      CF=CF *1.E-3
      WRITE(IMP, 1982) CF
 1982
      FORMAT(1x, 'CF=', E16.8)
       AG=AG+CF
      FORMAT(1x, 'AG=', E16.8)
 1979
      WRITE (IMP, 1979) AG
      COTEO.
      DO 810 I=1,NL
       V(T)=0.
       INV(I)=AMAX1(INV(I)=IEC(I).0.)
      COT=COT+INV(I) *FLOAT(ICT(I)) *1.E-3
       INV(I)=INV(I)+IEC(I)
 810
       CONTINUE
      COT=COT+CF
      FORMAT(1x, 'COT=', E16.8)
       WRITE(IMP, 9980) COT
       WRI1F (IMP, 338)
       WRITE (IMP, 335) (AA(I), I=1,NL)
       WRITE (IMP. 335) (IMV(I), I=1.NL)
I c
       ************************************
        CALCUL DE LA NORME DE LA DIRECTION DE MONTEF
C,
C
        ****************************
      89=0.
       DO 8001 LZ=1,NAF
       DO 8001 I=1.53
       BR=BB+(FLOAT(ICT(I))+(BX(I,LZ)-AB(I)))++2
                               A - 28
```

```
CONT INUE
 8001
     88=SQRT(88) +1.E-3
С
      *************************
.0
        AJUSTEMENT DES PAS DE L'ALGORITHME
C
      ************************
     PPS=ABS(AG-0.28E+07)
     RI=1./(1.+FLOAT(IPAS))
     TPI=TPI+RI
     PI=0.05*RI*TPI**2
     T0=P0*0.001*PPS/BB
     T0=10*RI
     R0=10+1_E+3
     T0=10/88
     DO 8881 T=1.NL
     ROU(I)=TO*FLOAT(ICT(I))
 8881
     CONTINUE
 c
 c
 C
      c
 č
        REMISE A JOUR DES PARAMETRES DUAUX
 c
C
      c
     DO 1330 LZ=1,NAF
     DO 1330 I=1.NL
 c
      ***********************
 č
 c
     EQUATION (6)
 č
C
      ...........
+C
     B(I,LZ)=B(I,LZ)+ROU(I)*(Bx(I,LZ)-AB(I))
     IF(B(I,LZ))137,136,136
137
     B(I,LZ)=0.
136
     CONTINUE
č
     V(T)=V(T)+B(T,17)
1330
     CONTINUE
     DO 1369 L=1.NAF
     Dn 1369 I=1,NL
      *******************************
c
t C
       EQUATION (7)
l C
c
      ************************
, c
     B(I,L)=8(I,L)/V(I)
1369
     COULTMHE
     WRITF(IMP, 3307) IPAS
     IF (IPAS-IPAMAX)801,800,800
801
          COUTT-DIF
           TPAS=TPAS+1
     WRITE(14P.45) RO
c
     C
C
        FIN DE L'ITERATION
c
     A - 29
```

800 00 10 60 CONTINUE STOP END

A = 30

```
C
C
c
      SOUS-PROGRAMME DE GENERATION
č
      D'UNE SUITE DE NOMBRES PSEUDO-ALEATOIRES
      SUBROUTINE ALEAT (IA, IB, Z)
      IA: DUAND ON APPELLE ALEAT POUR LA PREMIERE FOIS, IA DOIT
č
         AVOIR UNE VALEUR ENTIERE, IMPAIRE ET INFERIEURE A 9
         CHIFFRES: DANS LES APPELS SULVANTS, ON REINITIALISE LA
c
         VALEUR DE LA EN LUI DONNANT LA VALEUR IB GENEREE PAR
         LE PROGRAMME
      TRIVALEUR ENGENDREE PAR LE PROGRAMME
C
č
      Z: VALEUR UNIFORME SUR (0,1) ENGENDREE PAR ALEAT
c
С
      2**16+3=65539
      IB=IA+65539
      IF (IB.GE.0) GOTO 1
      IB=IB+2147483647+1
С
```

IB=1A*655.59 IF(IB.GE.0) G0T0 1 IB=IB+2147483647+1 2**31=2147493647+1 I Z-IB Z-Z*0.4656613E-9 2**(-31)=0.4656613E-9 RFTURN

END

- A. AUSLENDER: Optimisation, Méthodes Numériques (Masson, Paris, 1976).
- A. BAKUSHINSKII, BT POLYAK: On the solution of variational Inequalities.

 Soviet Math. Doklaiy, Vol.15, pp 1705-1710, 1974.
- J. CBA: Optimisation : Théorie et Algorithmes. (Dunod, Paris 1971).
- G. COHEN: An algorithm for convex constrained minimax optimization based on duality. (Applied Mathematics and Optimization, 1981).
- J.C. DODU, M. GOURSAT, A. ERRYZ, J.P. GUARRAT, M. VIOT: Méthodes de gradient stochastique pour l'optimisation des investissements dans un réseau électrique. EUF publication. Etude et Recherche. Série C,
 - Mathématique, informatique n^o2, (1981). <u>L.S. LASDON</u>: Optimization theory for Large System, The Macmillan Company
- New York, 1970.
 C. LEMARECHAL et R. MIFFLIN: Noismooth optimization. (proceedings of a IIASA
- Workshop, 1977).

 J.F. MAURRAS Flot optimal sur un graphe avec multiplicateurs, EDF publication,
- Etudes et Rechercles, Clamart (Prance). Série S, nº1, 1972.

 J. MEDANIC, M. ANDJELIC: Miniman Solution of the Multiplier Target Problem,
- IEEE Transactions on Automatic Control, 1972.

 E.A. NURMINSKI et P.I. VERCHENKO: Convergence of Algorithms for finding
- Saddle points, Cybernetics, Vol 13, n⁰3, 1977.
- B.T. POLYAK: Subgradient Methods. A survey of Soviet Research. in Nonsmooth Optimization par Lemanschal et Mifflin.
 - R.T. ROCKAPELIAR "A dual approach to Solving Non-linear programming. Problems by Unconstrained optimization". Mathematical Programming 5, pp. 354-375 (1975).
- ZHU DAO LI : Optimisation sous-différentiable et méthodes de décomposition.